



**SIS**

Scuola Interdipartimentale  
delle Scienze, dell'Ingegneria  
e della Salute



# Laurea Magistrale in STN

**Applicazioni di Calcolo Scientifico  
e Laboratorio di ACS  
(12 cfu)**

**prof. Mariarosaria Rizzardi**

Centro Direzionale di Napoli – Isola C4

stanza: n. 423 – Lato Nord, 4° piano

tel.: 081 547 6545

email: [mariarosaria.rizzardi@uniparthenope.it](mailto:mariarosaria.rizzardi@uniparthenope.it)



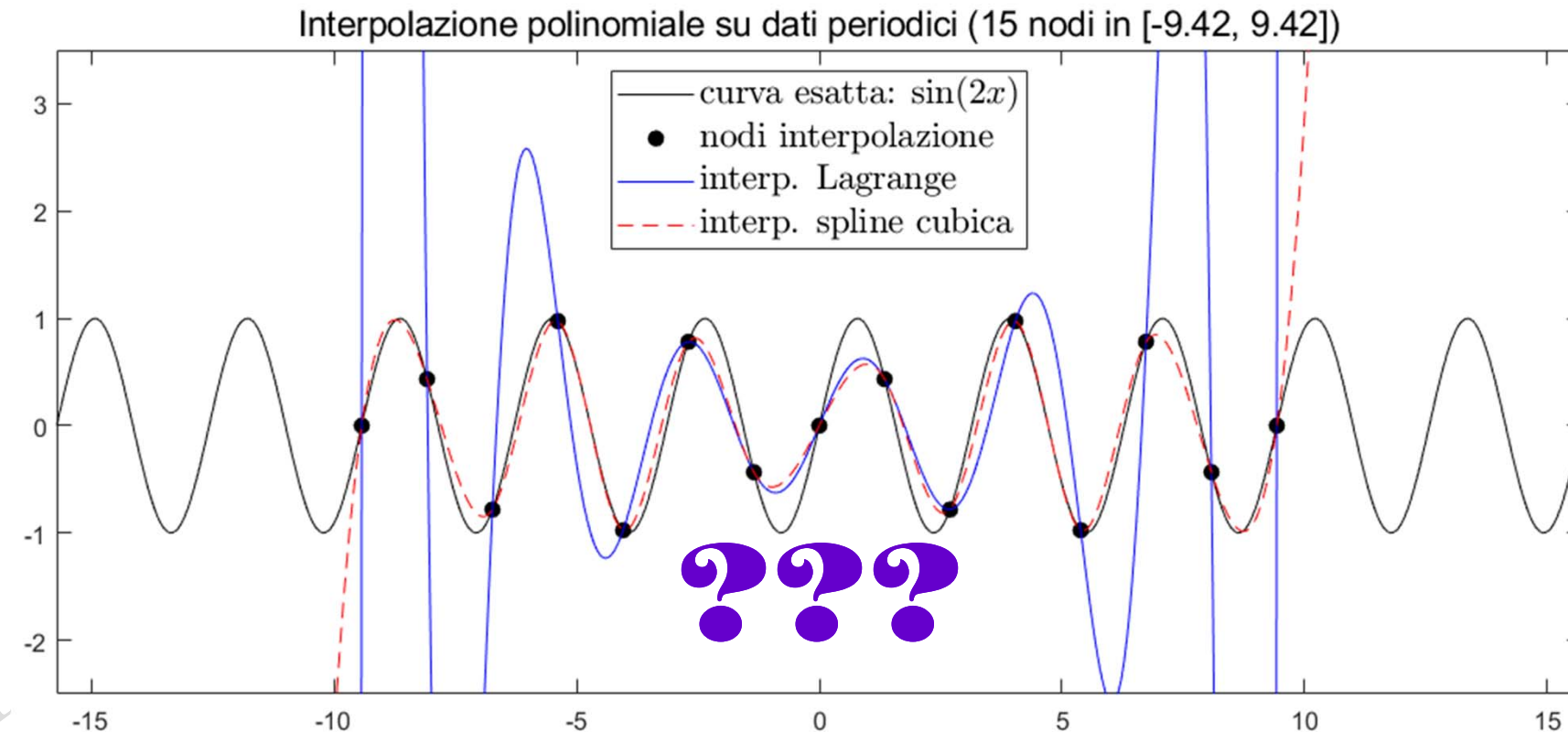
## Argomenti trattati

- **Calcolo Numerico in MATLAB:**
  - ❖ polinomi trigonometrici;
  - ❖ interpolazione trigonometrica.



# Perché ... Interpolazione Trigonometrica ?

Ricorrendo all'interpolazione polinomiale a partire da **dati periodici**, si ottiene ...



I dati provengono da una funzione periodica ma le funzioni interpolanti non lo sono!

# Polinomi Trigonometrici di periodo $2\pi$

Polinomio algebrico di grado  $N$  ( $N+1$  coefficienti)

$$P_N(x) = c_0 + c_1 x + c_2 x^2 + \cdots + c_N x^N$$

Polinomio trigonometrico di grado  $N$  ( $N+1$  coefficienti)

$$S_N(x) = \alpha_0 + \alpha_1 \cos x + \beta_1 \sin x + \alpha_2 \cos 2x + \beta_2 \sin 2x + \cdots + \alpha_{\frac{N}{2}} \cos \frac{N}{2}x + \beta_{\frac{N}{2}} \sin \frac{N}{2}x$$

$S_N(x) \in \mathbb{R}$ , coefficienti reali

oppure

$$T_N(x) = \gamma_{-\frac{N}{2}} e^{-i\frac{N}{2}x} + \cdots + \gamma_{-2} e^{-i2x} + \gamma_{-1} e^{-ix} + \gamma_0 +$$

$T_N(x) \in \mathbb{C}$ , coefficienti complessi

$$+ \gamma_1 e^{ix} + \gamma_2 e^{i2x} + \cdots + \gamma_{+\frac{N}{2}} e^{+i\frac{N}{2}x}$$

forma reale

(prof. M. Rizzardi)

Interpolazione Trigonometrica

$N$  pari

forma complessa

Dalla **forma reale** del polinomio trigonometrico:

$$S_N(x) = \alpha_0 + \alpha_1 \cos x + \beta_1 \sin x + \alpha_2 \cos 2x + \beta_2 \sin 2x + \dots + \alpha_{\frac{N}{2}} \cos \frac{N}{2}x + \beta_{\frac{N}{2}} \sin \frac{N}{2}x$$

$S_N(x) \in \mathbb{R}$ , coefficienti reali

*Formula di Eulero:  $e^{i\theta} = \cos(\theta) + i\sin(\theta)$*

con le sostituzioni  $\cos kx = \frac{e^{ikx} + e^{-ikx}}{2}$ ;  $\sin kx = \frac{e^{ikx} - e^{-ikx}}{2i}$  si ottiene

$$S_N(x) = 2\alpha_0 + \alpha_1(e^{ix} + e^{-ix}) - i\beta_1(e^{ix} - e^{-ix}) + \alpha_2(e^{i2x} + e^{-i2x}) - i\beta_2(e^{i2x} - e^{-i2x}) + \dots + \alpha_{\frac{N}{2}}(e^{i\frac{N}{2}x} + e^{-i\frac{N}{2}x}) - i\beta_{\frac{N}{2}}(e^{i\frac{N}{2}x} - e^{-i\frac{N}{2}x})$$

e si trova la **forma complessa**

L'Apprendimento

forma complessa

$$S_N(x) = e^{-i\frac{N}{2}x} \underbrace{\left( \alpha_{\frac{N}{2}} + i\beta_{\frac{N}{2}} \right)}_{\gamma_{-\frac{N}{2}}} + \dots + e^{-i2x} \underbrace{\left( \alpha_2 + i\beta_2 \right)}_{\gamma_{-2}} + e^{-ix} \underbrace{\left( \alpha_1 + i\beta_1 \right)}_{\gamma_{-1}} + 2\alpha_0 + T_N(x) = \dots + e^{+ix} \underbrace{\left( \alpha_1 - i\beta_1 \right)}_{\gamma_{+1}} + e^{+i2x} \underbrace{\left( \alpha_2 - i\beta_2 \right)}_{\gamma_{+2}} + \dots + e^{+\frac{N}{2}x} \underbrace{\left( \alpha_{\frac{N}{2}} - i\beta_{\frac{N}{2}} \right)}_{\gamma_{+\frac{N}{2}}}$$

Viceversa, affinché la forma complessa del polinomio trigonometrico  $T_N(x)$  restituisca valori reali,  $\forall k$  i coefficienti di  $e^{-ikx}$  e di  $e^{+ikx}$  devono essere complessi e coniugati:

$$\gamma_{-k} = \overline{\gamma_{+k}}$$

# Esempio: polinomi di grado 2

Pol. algebrico di grado 2 (3 coefficienti)

$$P_2(x) = c_0 + c_1 x + c_2 x^2$$

$$P_2(x) = 1 + 2x - x^2$$

Pol. trigonometrico di grado 2 (3 coefficienti)

$$S_2(x) = \alpha_0 + \alpha_1 \cos x + \beta_1 \sin x$$

$$\cos kx = \frac{e^{ikx} + e^{-ikx}}{2}; \quad \sin kx = \frac{e^{ikx} - e^{-ikx}}{2i}$$

$$T_2(x) = \gamma_{-1} e^{-ix} + \gamma_0 + \gamma_{+1} e^{ix}$$

$$S_2(x) = 1 + 2 \cos x - \sin x$$

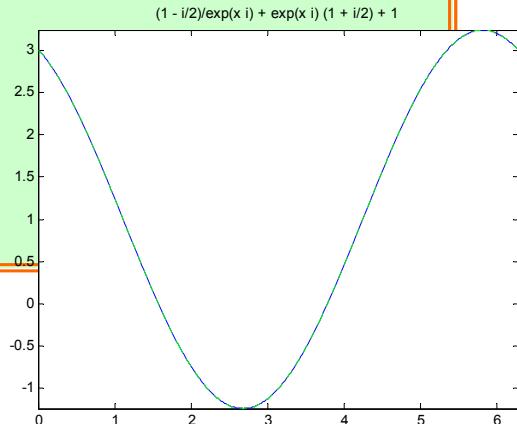
stesso polinomio!

$$T_2(x) = \left(1 - \frac{i}{2}\right) e^{-ix} + 1 + \left(1 + \frac{i}{2}\right) e^{ix}$$

forma reale

forma complessa

```
syms x real; S2=1+2*cos(x)-sin(x);
T2=subs(S2, {cos(x),sin(x)}, {(exp(i*x)+exp(-i*x))/2, (exp(i*x)-exp(-i*x))/(2*i)})
T2 =
exp(-x*1i)*(1 - 1i/2) + exp(x*1i)*(1 + 1i/2) + 1
ezplot(S2,[0 2*pi]); hold on
h=ezplot(T2,[0 2*pi]); set(h, 'Color', 'g', 'LineStyle', ':')
[simplify(real(T2)) simplify(imag(T2))]
ans =
[ 2*cos(x) - sin(x) + 1, 0] ← S2(x) = T2(x)
```



anche in forma complessa il polinomio è a valori reali perché i coefficienti di  $e^{\pm ix}$  sono complessi coniugati!

## ancora... **Esempio:** polinomi di grado 2

Pol. trigonometrico di grado 2 (3 coefficienti)

$$T_2(x) = \gamma_{-1} e^{-ix} + \gamma_0 + \gamma_{+1} e^{ix}$$



mettendo in evidenza  $e^{-ix}$

$$T_2(x) = e^{-ix} (\gamma_{-1} + \gamma_0 e^{ix} + \gamma_{+1} e^{i2x})$$

$$T_2(x) = \left(1 - \frac{i}{2}\right) e^{-ix} + 1 + \left(1 + \frac{i}{2}\right) e^{+ix}$$

forma complessa

$$Q(x) = \boxed{\gamma_{-1} + \gamma_0 e^{ix} + \gamma_{+1} e^{i2x}} = c_0 + c_1 e^{ix} + c_2 e^{i2x}$$

3 coefficienti!



grado di  $Q(x)$  ?

$Q(x)$  si può interpretare come:

$$T_4(x) = 0e^{-i2x} + 0e^{-ix} + c_0 + c_1 e^{ix} + c_2 e^{i2x}$$



$Q(x)$  è un particolare polinomio trigonometrico di grado 4

# Un polinomio trigonometrico di grado $N$ ( $N$ pari)

( $N+1$  coefficienti)

in forma reale  $(S_N(x) \in \mathbb{R})$

$$S_N(x) = \alpha_0 + \alpha_1 \cos x + \beta_1 \sin x + \alpha_2 \cos 2x + \beta_2 \sin 2x + \dots + \alpha_{\frac{N}{2}} \cos \frac{N}{2}x + \beta_{\frac{N}{2}} \sin \frac{N}{2}x$$

oppure in forma complessa  $(T_N(x) \in \mathbb{C})$

$$T_N(x) = \gamma_{-\frac{N}{2}} e^{-i\frac{N}{2}x} + \dots + \gamma_{-2} e^{-i2x} + \gamma_{-1} e^{-ix} + \gamma_0 + \gamma_1 e^{ix} + \gamma_2 e^{i2x} + \dots + \gamma_{+\frac{N}{2}} e^{+i\frac{N}{2}x}$$

è una funzione periodica di periodo  $2\pi$

# Il particolare polinomio trigonometrico $Q(x)$ con $N+1$ coefficienti

in forma complessa

$(Q(x) \in \mathbb{C})$

$$Q(x) = c_0 + c_1 e^{ix} + c_2 e^{i2x} + c_3 e^{i3x} + \cdots + c_N e^{iNx}$$

$(Q$  di grado  $2N$  con  $N$  coefficienti nulli)

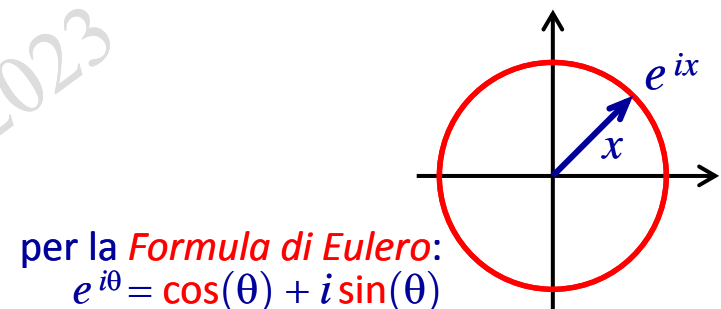
è una funzione periodica di periodo  $2\pi$

# Relazione con i polinomi algebrici

$$Q(x) = c_0 + c_1 e^{ix} + c_2 e^{i2x} + c_3 e^{i3x} + \cdots + c_N e^{iNx}$$

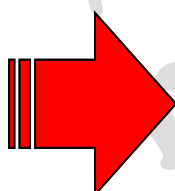
posto  $z = e^{ix}$ , per  $x \in \mathbb{R}$ , si ottiene

$$Q(z) = c_0 + c_1 z + c_2 z^2 + c_3 z^3 + \cdots + c_N z^N$$



per la *Formula di Eulero*:  
 $e^{i\theta} = \cos(\theta) + i \sin(\theta)$

è un polinomio algebrico di grado  $N$  calcolato per  $z = e^{ix} \in \Gamma(0,1)$   
 (cioè sulla circonferenza unitaria di centro 0)



per  $Q(z)$  si può sfruttare il **Teor. di esistenza ed unicità**  
 del polinomio interpolante di Lagrange

# Relazione tra polinomi trigonometrici ed algebrici

$N$  pari

ACS\_04c.10

In generale, se si scrive

$$T_N(x) = \gamma_{-\frac{N}{2}} e^{-i\frac{N}{2}x} + \cdots + \gamma_{-2} e^{-i2x} + \gamma_{-1} e^{-ix} + \gamma_0 + \gamma_1 e^{ix} + \gamma_2 e^{i2x} + \cdots + \gamma_{+\frac{N}{2}} e^{+i\frac{N}{2}x}$$

come

$$T_N(x) = e^{-i\frac{N}{2}x} \left( \gamma_{-\frac{N}{2}} + \gamma_{-\frac{N}{2}+1} e^{ix} + \gamma_{-\frac{N}{2}+2} e^{i2x} + \cdots + \gamma_0 e^{i\frac{N}{2}x} + \right. \\ \left. + \gamma_1 e^{i(\frac{N}{2}+1)x} + \gamma_2 e^{i(\frac{N}{2}+2)x} + \cdots + \gamma_{+\frac{N}{2}} e^{iNx} \right)$$

posto  $z = e^{ix}$ , per  $x \in \mathbb{R}$ , si ottiene

$$T_N(z) = z^{-\frac{N}{2}} \left( \gamma_{-\frac{N}{2}} + \gamma_{-\frac{N}{2}+1} z + \gamma_{-\frac{N}{2}+2} z^2 + \cdots + \gamma_0 z^{\frac{N}{2}} + \right. \\ \left. + \gamma_1 z^{\frac{N}{2}+1} + \gamma_2 z^{\frac{N}{2}+2} + \cdots + \gamma_{+\frac{N}{2}} z^N \right)$$

$e^{-i\frac{N}{2}x}$



$$Q(z) = c_0 + c_1 z + c_2 z^2 + c_3 z^3 + \cdots + c_N z^N$$

Interpolazione Trigonometrica

(prof. M. Rizzardi)

# Come valutare un polinomio trigonometrico in MATLAB

*N qualsiasi*

$$Q(x) = c_0 + c_1 e^{ix} + c_2 e^{i2x} + \cdots + c_N e^{iNx}$$

$$Q(z) = c_0 + c_1 z + c_2 z^2 + \cdots + c_N z^N \quad \leftarrow z = e^{ix}$$

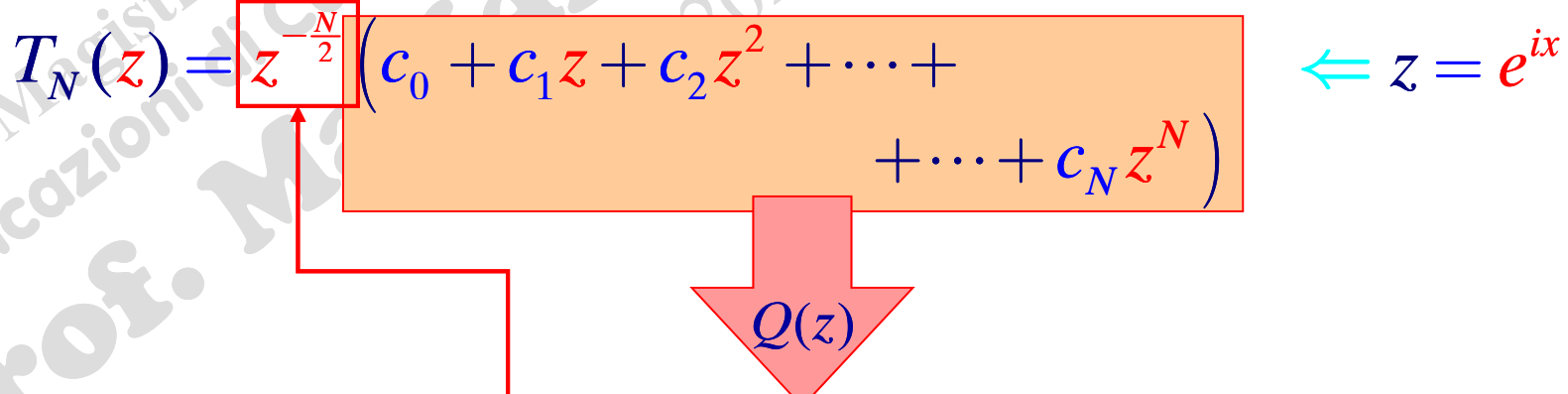
```
z=exp(i*x); Q=polyval(fliplr(c), z);
```

**fliplr()**: perché  $c = [c_0, c_1, c_2, \dots, c_N]$  è un vettore riga,

**flipud()**: se  $c$  è un vettore colonna,

**flip(A, dim)**: funziona come **flipud()** se **dim=1**; come **fliplr()** se **dim=2**.

$$T_N(z) = z^{-\frac{N}{2}} \left( \gamma_{-\frac{N}{2}} + \gamma_{-\frac{N}{2}+1} z + \gamma_{-\frac{N}{2}+2} z^2 + \cdots + \gamma_0 z^{\frac{N}{2}} + \right. \\ \left. + \gamma_1 z^{\frac{N}{2}+1} + \gamma_2 z^{\frac{N}{2}+2} + \cdots + \gamma_{+\frac{N}{2}} z^N \right)$$



```
z=exp(i*x); T_N=z.^(-N/2).* polyval(fliplr(c), z);
```

# Richiami: Interpolazione polinomiale di Lagrange

ACS\_04c.12

**Teorema:** Assegnati  $N+1$  punti  $(x_k, y_k)$  con  $x_j \neq x_k$  per  $j \neq k$ , esiste un unico polinomio (algebrico)  $P_N(x) \in \Pi_N$ , cioè di grado al più  $N$ , che sia interpolante sui nodi assegnati:

$$P_N(x_k) = y_k \quad \forall k = 0, 1, 2, \dots, N$$

dove  $P_N(x) = c_0 + c_1 x + c_2 x^2 + \dots + c_N x^N$

$\{1, x, x^2, x^3, \dots, x^N\}$  base di  $\Pi_N$

## Metodo dei coefficienti indeterminati

La dimostrazione (costruttiva) del teorema si basa sul determinare i coefficienti  $\{c_h\}$  del polinomio come soluzione del **sistema lineare determinato** che si ottiene dalle condizioni di interpolazione:

$$P_N(x_k) = y_k, \quad k=0, 1, \dots, N$$

Complessità di tempo  
(m. Gauss):  $= O\left(\frac{(N+1)^3}{3}\right)$

matrice di Vandermonde

$$\begin{pmatrix} 1 & x_0 & x_0^2 & \cdots & x_0^N \\ 1 & x_1 & x_1^2 & \cdots & x_1^N \\ 1 & x_2 & x_2^2 & \cdots & x_2^N \\ \vdots & \vdots & \vdots & \ddots & \vdots \\ 1 & x_N & x_N^2 & \cdots & x_N^N \end{pmatrix} \begin{pmatrix} c_0 \\ c_1 \\ c_2 \\ \vdots \\ c_N \end{pmatrix} = \begin{pmatrix} y_0 \\ y_1 \\ y_2 \\ \vdots \\ y_N \end{pmatrix}$$

(prof. M. Rizzardi)

Interpolazione Trigonometrica

# Problema generale di Interpolazione Trigonometrica

(periodo  $T=2\pi$ )

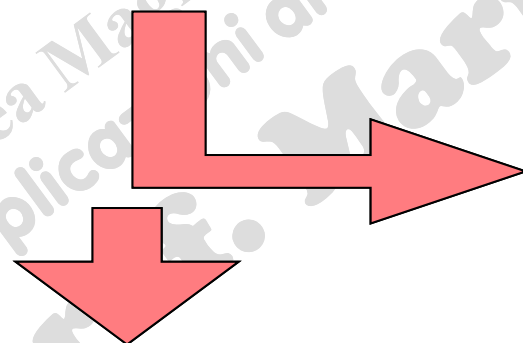
Assegnati  $N+1$  nodi distinti  $x_k$  qualsiasi in  $[0, 2\pi[$  ed  $N+1$  valori  $y_k \in \mathbb{C}$ , si cerca un polinomio trigonometrico di grado  $N$  interpolante  $Q(x) : Q(x_k) = y_k$ ,  $k=0,1,\dots,N$ , del tipo (cioè con  $N+1$  coefficienti):

$$Q(x) = c_0 + c_1 e^{ix} + c_2 e^{i2x} + c_3 e^{i3x} + \cdots + c_N e^{iNx}$$

$$z = e^{ix} \Rightarrow Q(z) = c_0 + c_1 z + c_2 z^2 + c_3 z^3 + \cdots + c_N z^N$$

per il **Teor. di interpolazione di Lagrange**, imponendo le condizioni di interpolazione si ottiene il sistema lineare nelle incognite  $c_h$

$$k=0,1,\dots,N \quad Q(x_k) = Q(z_k) = y_k$$



## 1° ALGORITMO

si risolve il sistema lineare nelle incognite  $c_h$ , e si trovano i coefficienti

$$\begin{pmatrix} 1 & e^{ix_0} & e^{i2x_0} & \cdots & e^{iNx_0} \\ 1 & e^{ix_1} & e^{i2x_1} & \cdots & e^{iNx_1} \\ 1 & e^{ix_2} & e^{i2x_2} & \cdots & e^{iNx_2} \\ \vdots & & \vdots & \cdots & \vdots \\ 1 & e^{ix_N} & e^{i2x_N} & \cdots & e^{iNx_N} \end{pmatrix} \begin{pmatrix} c_0 \\ c_1 \\ c_2 \\ \vdots \\ c_N \end{pmatrix} = \begin{pmatrix} y_0 \\ y_1 \\ y_2 \\ \vdots \\ y_N \end{pmatrix}$$

# Esempio: perché $[0, 2\pi[$ e non $[0, 2\pi]$ ?

semiaperto ↑

chiuso ↑

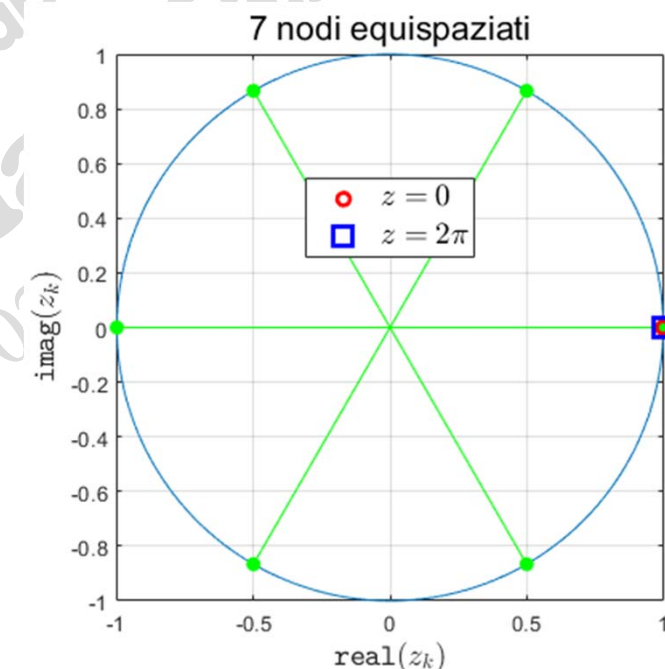
$$Q(z) = c_0 + c_1 z + c_2 z^2 + c_3 z^3 + \cdots + c_N z^N, \quad z = e^{ix}$$

Per applicare il Teor. di esistenza ed unicità del polinomio interpolante di Lagrange è richiesto che gli  $N+1$  nodi  $z_k = e^{ix_k}$  con  $x_k \in [0, 2\pi]$  (di spazatura qualsiasi) siano distinti.

```

N=6; k=0:N; % N: grado polinomio
xk=linspace(0,2*pi,N+1)'; % valori equispaziati
zk=exp(i*xk); yk=sin(xk); % compresi 0 e 2π
fplot(@sin,[0 2*pi]); axis equal; hold on
plot(xk,yk,'sb')
% A: matrice dei coefficienti del sistema
A=repmat(zk,1,N+1).^repmat(k,N+1,1);
disp(det(A))
-7.6738e-28 - 3.1743e-13i
    ???

```



Se il determinante di A è nullo,  
non esiste un'unica soluzione del sistema!

```

disp([zk(1) zk(end)])
1   ≈   1 - 2.4493e-16i

```

Ora i nodi sono  $(zk, yk)$ : le zk devono essere distinte!

# Esempio: perché $[0, 2\pi[$ e non $[0, 2\pi]$ ?

$$Q(z) = c_0 + c_1 z + c_2 z^2 + c_3 z^3 + \cdots + c_N z^N, \quad z = e^{ix}$$

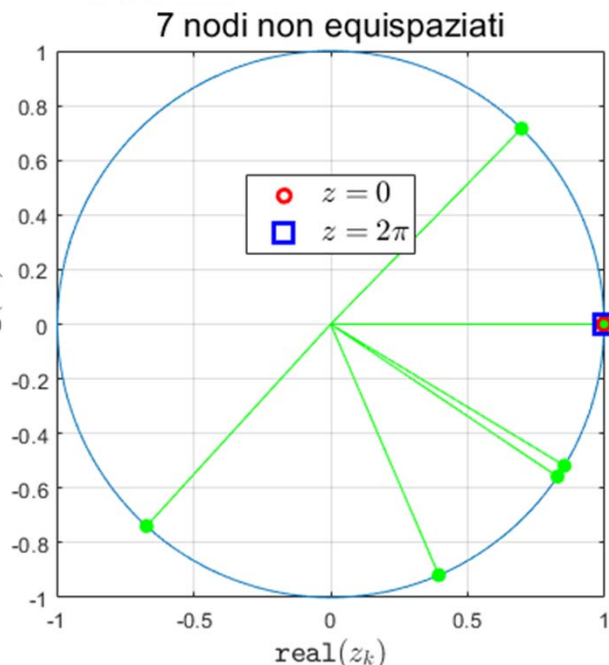
semiaperto ↑

chiuso ↑

Per applicare il Teor. di esistenza ed unicità del polinomio interpolante di Lagrange è richiesto che gli  $N+1$  nodi  $z_k = e^{ix_k}$  con  $x_k \in [0, 2\pi]$  (di spazatura qualsiasi) siano distinti.

```

N=6; k=0:N; % N: grado polinomio
xk=[0;2*pi*rand(N-1,1);2*pi];% valori non equispaziati
zk=exp(i*xk); yk=sin(xk); % compresi 0 e 2π
fplot(@sin,[0 2*pi]); axis equal; hold on
plot(xk,yk,'sb')
% A: matrice dei coefficienti del sistema
A=repmat(zk, 1,N+1) .^ repmat(k, N+1,1);
disp(det(A))
-7.6738e-28 - 3.1743e-13i
    ???
```



Se il determinante di A è nullo,  
non esiste un'unica soluzione del sistema!

```

disp([zk(1) zk(end)])
1   ≈   1 - 2.4493e-16i
```

Ora i nodi sono  $(zk, yk)$ : le zk devono essere distinte!

# Esempio: N=5 (6 nodi di interpolazione)

grado dispari

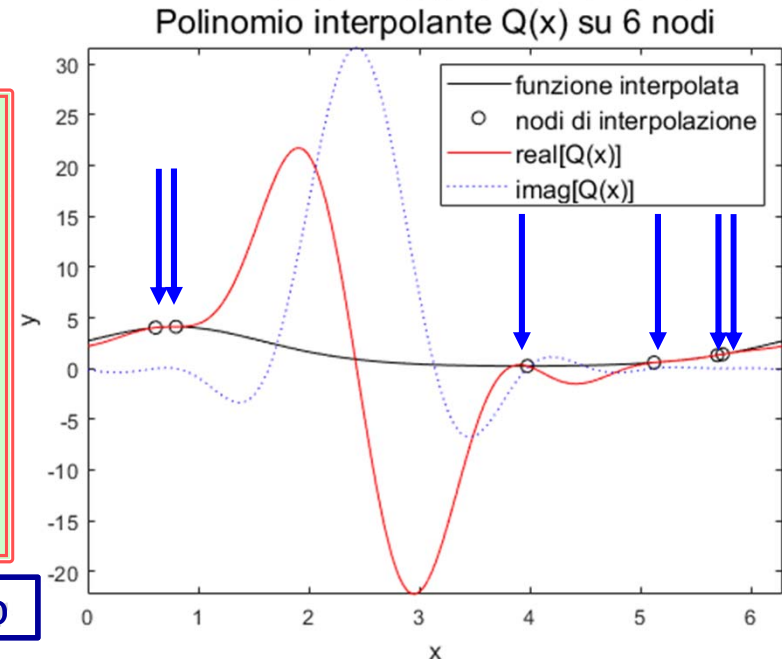
$$Q_5(x) = c_0 + c_1 e^{ix} + c_2 e^{2ix} + c_3 e^{3ix} + c_4 e^{4ix} + c_5 e^{5ix}$$

```

myfun=@(t)exp(cos(t)+sin(t));
x=linspace(0,2*pi,199); y=myfun(x);
%% (xk,yk) dati di interpolazione di myfun
Npts=6; xk=2*pi*rand(Npts,1); yk=myfun(xk);
N=Npts-1; k=0:N; A=exp(i*xk*k); cQ=A\yk;
Q=polyval(flipud(cQ),exp(i*x));
plot(x,y,'k',xk,yk,'ok'); hold on
plot(x,real(Q),'r',x,imag(Q),'b:');
legend(...)
```

$xk*k$ : prodotto esterno

6 nodi qualsiasi (anche non equispaziati)



c'è una parte immaginaria  $\neq 0$  nel polinomio!

La funzione interpolante è solo la parte reale del polinomio

$$\longleftrightarrow Ac = y$$

$$\begin{pmatrix} 1 & e^{ix_0} & e^{i2x_0} & \dots & e^{iNx_0} \\ 1 & e^{ix_1} & e^{i2x_1} & \dots & e^{iNx_1} \\ 1 & e^{ix_2} & e^{i2x_2} & \dots & e^{iNx_2} \\ \vdots & \vdots & \vdots & \ddots & \vdots \\ 1 & e^{ix_N} & e^{i2x_N} & \dots & e^{iNx_N} \end{pmatrix} \begin{pmatrix} c_0 \\ c_1 \\ c_2 \\ \vdots \\ c_N \end{pmatrix} = \begin{pmatrix} y_0 \\ y_1 \\ y_2 \\ \vdots \\ y_N \end{pmatrix}$$

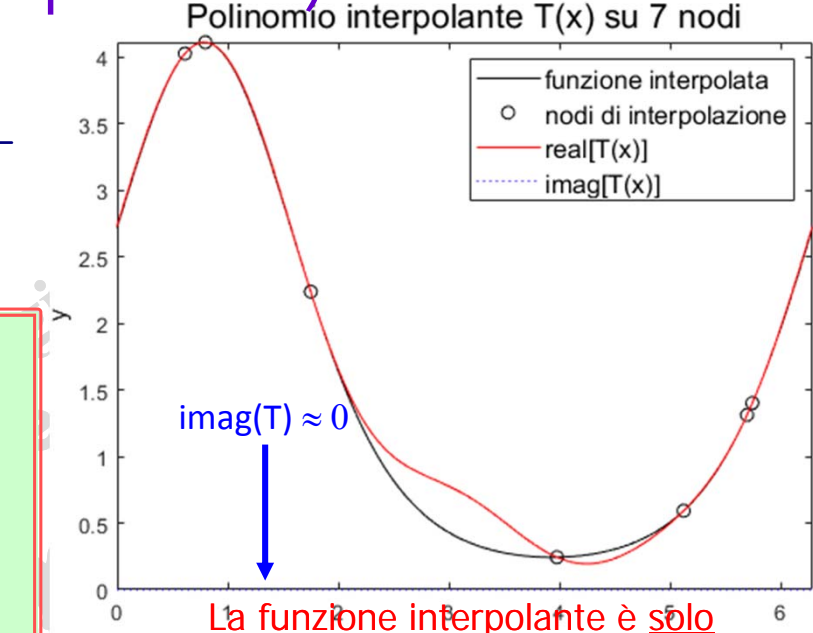
# Esempio: N=6 (7 nodi di interpolazione)

Grado pari

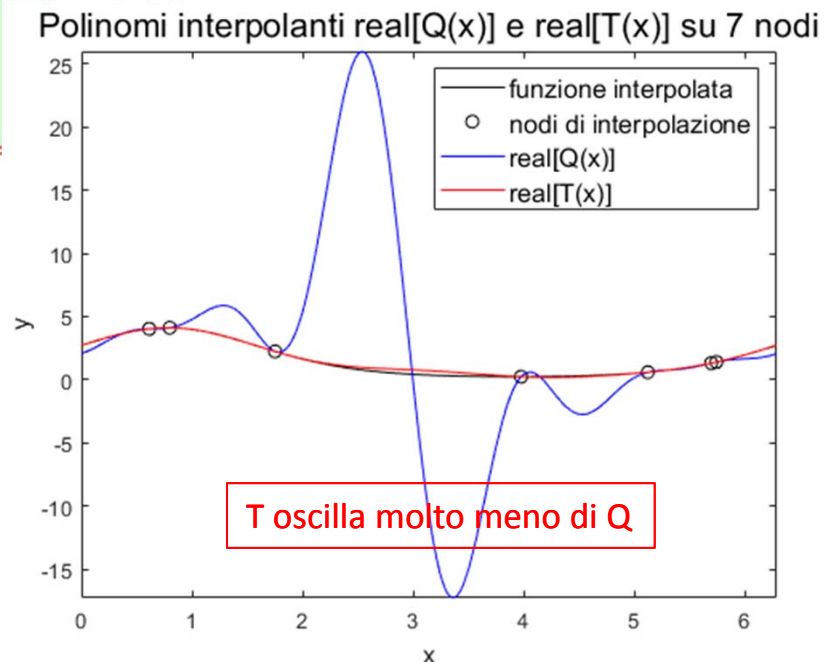
$$T_N(z) = z^{-\frac{N}{2}} \left( \gamma_{-\frac{N}{2}} + \gamma_{-\frac{N}{2}+1} z + \gamma_{-\frac{N}{2}+2} z^2 + \dots + \gamma_0 z^{\frac{N}{2}} + \gamma_1 z^{\frac{N}{2}+1} + \gamma_2 z^{\frac{N}{2}+2} + \dots + \gamma_{+\frac{N}{2}} z^N \right)$$

```
myfun=@(t)exp(cos(t)+sin(t));
x=linspace(0,2*pi,199); y=myfun(x);
%% (xk,yk) dati di interpolazione di myfun
Npts=7; xk=2*pi*rand(Npts,1); yk=myfun(xk);
N=Npts-1; k=0:N; A=exp(i*xk*k);
zk=exp(1i*xk); cT=A\ (yk.*zk.^ (N/2));
z=exp(1i*x); T=z.^ (-N/2).*polyval(flipud(cT),z);
plot(x,y,'k',xk,yk,'ok'); hold on
plot(x,real(T),'r',x,imag(T),'b:');
legend(...)
```

```
plot(x,y,'k',xk,yk,'ok'); hold on
plot(x,real(Q),'b', x,real(T),'r')
legend(...)
```



La funzione interpolante è solo la parte reale del polinomio



T oscilla molto meno di Q

# Problema particolare di Interpolazione Trigonometrica

(periodo  $T=2\pi$  e nodi equispaziati)

Assegnati  $N+1$  nodi distinti  $x_k$  equispaziati in  $[0, 2\pi[$  ed  $N+1$  valori  $y_k \in \mathbb{C}$ , si cerca un polinomio trigonometrico interpolante  $Q(x)$  [cioè tale che:  $Q(x_k) = y_k, k=0,1,\dots,N]$  del tipo:

$$Q(x) = c_0 + c_1 e^{ix} + c_2 e^{2ix} + \cdots + c_N e^{iNx}$$

$N+1$  nodi  $x_k$  equispaziati in  $[0, 2\pi[$ :  $\downarrow$   $x_k = 2\pi k / (N+1), k=0,1,\dots,N$

$x_k =$	0	$2\pi/(N+1)$	$4\pi/(N+1)$	$6\pi/(N+1)$	...	$2\pi(N-1)/(N+1)$	$2\pi N / (N+1)$
---------	---	--------------	--------------	--------------	-----	-------------------	------------------

condizioni di interpolazione  
 $k=0,1,\dots,N$   $Q(x_k) = y_k$



$$\begin{matrix} x_0 = 0 \\ x_1 = \frac{2\pi}{N+1} \\ x_2 = \frac{4\pi}{N+1} \\ \vdots \\ x_N = \frac{2\pi N}{N+1} \end{matrix} \quad \begin{pmatrix} 1 & 1 & 1 & \cdots & 1 \\ 1 & e^{i\frac{2\pi}{N+1}} & e^{i\frac{4\pi}{N+1}} & \cdots & e^{i\frac{2\pi N}{N+1}} \\ 1 & e^{i\frac{4\pi}{N+1}} & e^{i\frac{8\pi}{N+1}} & \cdots & e^{i\frac{4\pi N}{N+1}} \\ \vdots & \vdots & \vdots & \cdots & \vdots \\ 1 & e^{i\frac{2\pi N}{N+1}} & e^{i\frac{4\pi N}{N+1}} & \cdots & e^{i\frac{2\pi N^2}{N+1}} \end{pmatrix} \begin{pmatrix} c_0 \\ c_1 \\ c_2 \\ \vdots \\ c_N \end{pmatrix} = \begin{pmatrix} y_0 \\ y_1 \\ y_2 \\ \vdots \\ y_N \end{pmatrix}$$

Come prima, si può sfruttare il Teorema di esistenza ed unicità del polinomio interpolante di Lagrange per determinare il polinomio trigonometrico interpolante  $Q$

**Teorema:** Assegnati  $N+1$  punti  $(x_k, y_k)$  con nodi equispaziati  $x_k \in [0, 2\pi[$ ,  $x_k = 2\pi k / (N+1)$  per  $k=0,1,\dots,N$ , esiste un unico polinomio trigonometrico, di tipo  $Q(x) = c_0 + c_1 e^{ix} + c_2 e^{2ix} + \dots + c_N e^{iNx}$  e tale che  $Q(x_k) = y_k \forall k=0,1,\dots,N$  (interpolante), i cui coefficienti sono soluzioni del seguente sistema  $Ac=y$ :

A è una matrice particolare

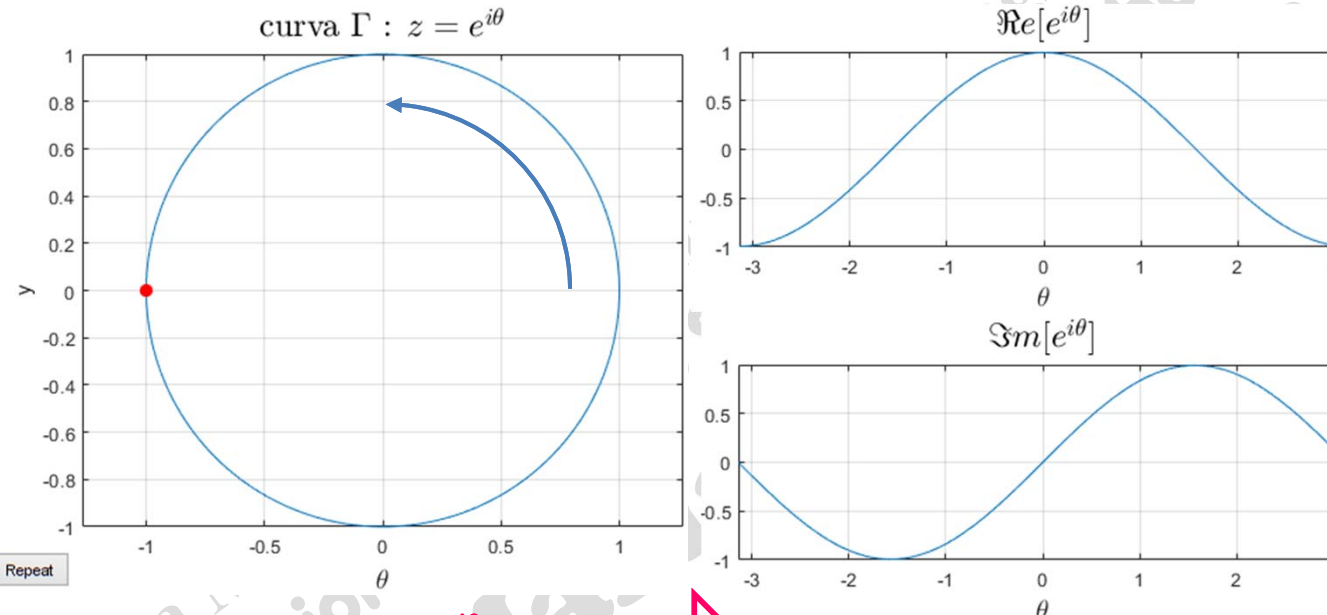
$$\begin{array}{cccccc|c} & 1 & 1 & 1 & \dots & 1 & \\ \text{--->} & 1 & e^{i\frac{2\pi}{N+1}} & \left(e^{i\frac{2\pi}{N+1}}\right)^2 & \dots & \left(e^{i\frac{2\pi}{N+1}}\right)^N & c_0 \\ & 1 & \left(e^{i\frac{2\pi}{N+1}}\right)^2 & \left(e^{i\frac{2\pi}{N+1}}\right)^4 & \dots & \left(e^{i\frac{2\pi}{N+1}}\right)^{2N} & c_1 \\ & 1 & \left(e^{i\frac{2\pi}{N+1}}\right)^3 & \left(e^{i\frac{2\pi}{N+1}}\right)^6 & \dots & \left(e^{i\frac{2\pi}{N+1}}\right)^{3N} & c_2 \\ & \vdots & & \vdots & \dots & \vdots & \vdots \\ & 1 & \left(e^{i\frac{2\pi}{N+1}}\right)^N & \left(e^{i\frac{2\pi}{N+1}}\right)^{2N} & \dots & \left(e^{i\frac{2\pi}{N+1}}\right)^{N^2} & c_N \end{array} = \begin{pmatrix} y_0 \\ y_1 \\ y_2 \\ y_3 \\ \vdots \\ y_N \end{pmatrix}$$

# Esempio: funzione $e^{ix}$

Formula di Eulero\*  $e^{i\theta} = \cos(\theta) + i\sin(\theta)$

\* scoperta intorno al 1740

```
syms th real; z=exp(i*th);ezplot3(real(z),imag(z),th,[-pi pi], 'animate');view(2);axis equal
figure;fplot(real(z),[-pi pi]);axis equal; figure; fplot(imag(z),[-pi pi]);axis equal
```



$e^{i\theta}$  è periodica di periodo  $2\pi$

$e^{i\theta}$  percorre la circonferenza in verso antiorario.

$e^{-i\theta}$  percorre la circonferenza in verso orario.

per la periodicità di  $e^{i\theta}$

$$\omega_M^{hk} = \left\{ \left( e^{\pm \frac{2\pi i}{M} hk} \right) \right\}_{h,k=0,\dots,M-1}$$

$$= \left\{ e^{\pm \frac{2\pi i}{M} hk} \right\}_{h,k=0,\dots,M-1}$$

$$= \left\{ e^{\pm \frac{2\pi i}{M} \text{mod}(hk, M)} \right\}_{h,k=0,\dots,M-1}$$

= rem restituisce il resto (mod) della divisione di  $hk$  per  $M$

W1 =
[1, 1, 1, 1]
[1, 1i, -1, -1i]
[1, -1, 1, -1]
[1, -1i, -1, 1i]

```
PI=sym(pi);
M=4; h=0:M-1; k=0:M-1;
W1=exp(2i*PI/M*(h'*k))
W2=exp(2i*PI/M*rem(h'*k,M))
```

W2 =
[1, 1, 1, 1]
[1, 1i, -1, -1i]
[1, -1, 1, -1]
[1, -1i, -1, 1i]

# Esempio

$$A = \left[ \left( e^{\frac{2\pi i}{M}} \right)^{\text{mod}(hk, M)} \right]_{h,k=0,1,\dots,M-1}$$

$$\omega_M = e^{+i\frac{2\pi}{M}} = \cos\left(+\frac{2\pi}{M}\right) + i \sin\left(+\frac{2\pi}{M}\right)$$

$$\overline{\omega}_M = e^{-i\frac{2\pi}{M}} = \cos\left(-\frac{2\pi}{M}\right) + i \sin\left(-\frac{2\pi}{M}\right)$$

complessi  
e  
coniugati

```
PI=sym(pi); syms h k real
M=4; h=0:M-1; k=0:M-1;
A=exp(2i*PI/M*rem(h'*k,M))
A1=exp(-2i*PI/M*rem(h'*k,M))
fprintf('\nA*A1 =\n')
disp(A*A1)
A*A1 =
[4, 0, 0, 0]
[0, 4, 0, 0]
[0, 0, 4, 0]
[0, 0, 0, 4]
```

```
fprintf('\nA1*A =\n')
disp(A1*A)
A1*A =
[4, 0, 0, 0]
[0, 4, 0, 0]
[0, 0, 4, 0]
[0, 0, 0, 4]
```

```
fprintf('\nA1*A/M =\n')
disp(A1*A/M)
A1*A/M =
[1, 0, 0, 0]
[0, 1, 0, 0]
[0, 0, 1, 0]
[0, 0, 0, 1]
```

$$\Omega_M^{-1} = \frac{1}{M} \overline{\Omega_M}$$

$$A^{-1} = \frac{1}{M} \left[ \left( e^{-\frac{2\pi i}{M}} \right)^{\text{mod}(hk, M)} \right]$$

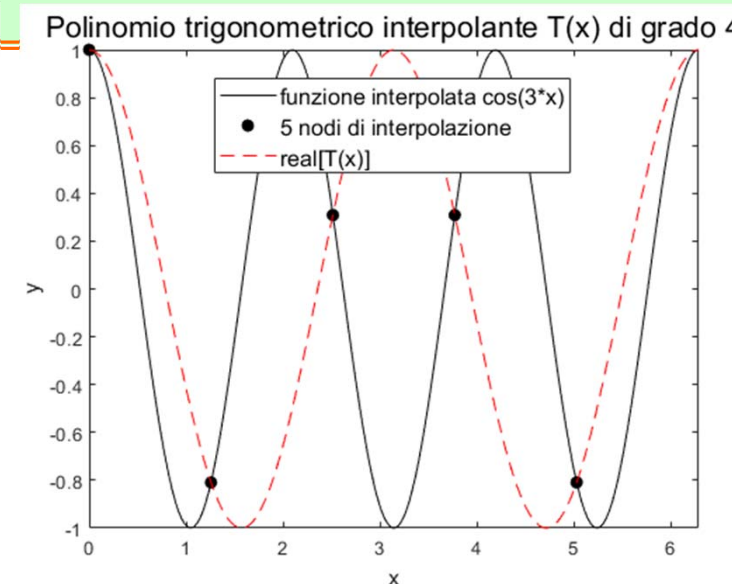
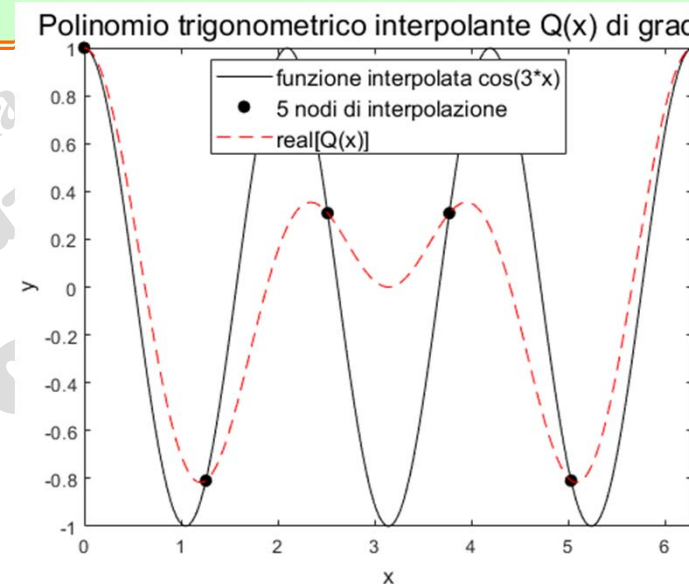
## 2° ALGORITMO

Per il polinomio  $Q(x)$  la soluzione del sistema  $A \cdot c = y$  è data direttamente da

$$c = \Omega_M^{-1} \cdot y = \frac{1}{M} \overline{\Omega}_M \cdot y$$

```
myfun=@(x) cos(3*x); x=linspace(0,2*pi,199); y=feval(myfun,x);
M=5; N=M-1; % M num. nodi, N grado polinomio
xk=linspace(0,2*pi,M+1)'; xk(end)=[]; yk=feval(myfun,xk);
k=0:N; invA=exp(-2i*pi/M*mod(k'*k,M))/M; c=invA*yk; % prodotto mat-vet
Q=polyval(flipud(c),exp(i*x)); plot(x,y,'k',xk,yk,'ok',x,real(Q),'r--')
axis tight
```

Laurea Magistrale  
Applicata  
presso



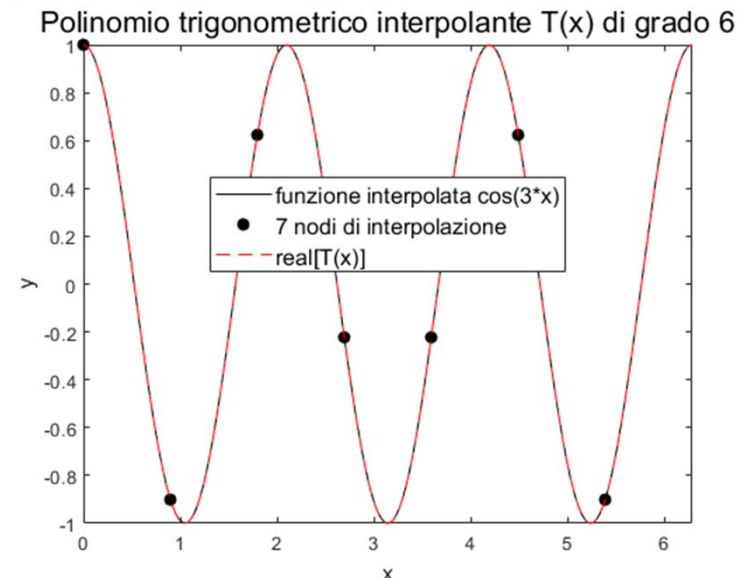
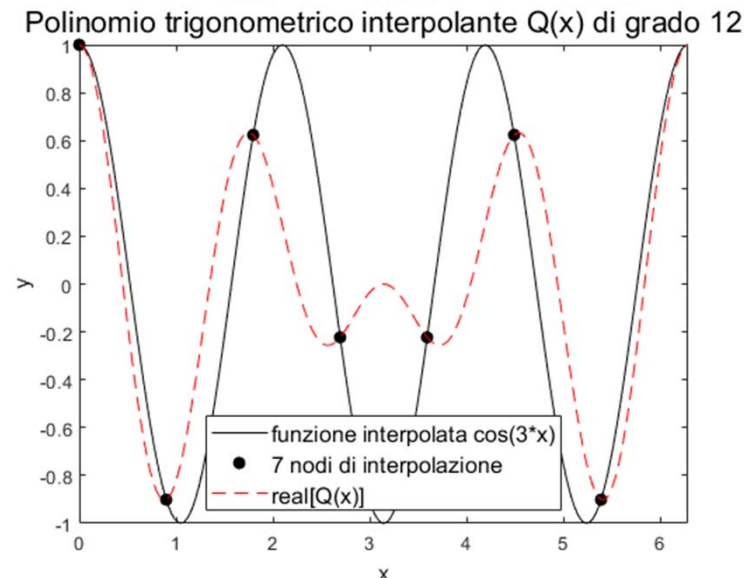
## 2° ALGORITMO

Per il polinomio  $Q(x)$  la soluzione del sistema  $A \cdot c = y$  è data direttamente da

$$c = \Omega_M^{-1} \cdot y = \frac{1}{M} \overline{\Omega_M} \cdot y$$

con soli 2 nodi in più

```
myfun=@(x) cos(3*x); x=linspace(0,2*pi,199); y=feval(myfun,x);
M=7; N=M-1; % M num. nodi, N grado polinomio
xk=linspace(0,2*pi,M+1)'; xk(end)=[]; yk=feval(myfun,xk);
k=0:N; invA=exp(-2i*pi/M*mod(k'*k,M))/M; c=invA*yk; % prodotto mat-vet
Q=polyval(flipud(c),exp(i*x)); plot(x,y,'k',xk,yk,'ok',x,real(Q),'r--')
axis tight
```



### 3° ALGORITMO

Posto  $M = N+1$ , il numero di punti di interpolazione, si ha

$$A = (a_{h,k}) = \left( e^{i \frac{2\pi}{M} hk} \right)_{h,k=0,\dots,M-1} = (\overline{\omega_M})^{hk}$$

dove  $\omega_M = e^{-i \frac{2\pi}{M}}$

Cos'è la matrice  $A$  del sistema per l'interpolazione trigonometrica?

A meno del fattore moltiplicativo  $1/M$ ,  $A$  è la matrice della **IDFT**  $\Omega_M^{-1}$ ; cioè  $A = M(\Omega_M)^{-1}$

Quindi la soluzione del sistema  $A \cdot c = y$  è data direttamente da  $c = A^{-1} \cdot y \Rightarrow$

$$c = \frac{1}{M} \Omega_M \cdot y = \frac{1}{M} \text{DFT}_M(y)$$

# Cos'è una DFT ?

DFT sta per

**Discrete Fourier Transform**

cioè

**Trasformata Discreta di Fourier**

IDFT sta per

**Inverse Discrete Fourier Transform**

cioè

**Trasformata Discreta Inversa di Fourier**

# Anticipazione: Discrete Fourier Transform (DFT)

sarà trattata nella parte II del corso

**DEFINIZIONE:**  $\underline{F}$  è la DFT di  $\underline{f}$        $\underline{F} = \text{DFT}(\underline{f})$

Input:  $\underline{f} = (f_0, f_1, f_2, \dots, f_{N-1})^T$  vettore reale o complesso ( $\underline{f} \in \mathbb{C}^N$ )

Output:  $\underline{F} = (F_0, F_1, F_2, \dots, F_{N-1})^T$       ( $\underline{F} \in \mathbb{C}^N$ )

$$\underline{F} = \text{DFT}(\underline{f}) = \Omega_N \cdot \underline{f} \quad \text{forma matriciale DFT}$$

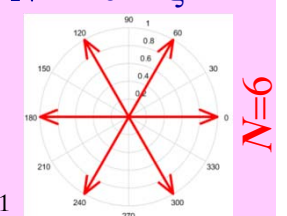
dove  $\Omega_N$  è la matrice quadrata  $\Omega_N = (\omega_N^{kj})_{k,j=0,1,\dots,N-1}$  i cui elementi sono

le potenze di  $\omega_N = e^{-i\frac{2\pi}{N}}$

( $\omega_N$  è una radice  $N^{\text{sima}}$  dell'unità primitiva\*)

\* Una radice  $N^{\text{sima}}$  dell'unità primitiva  $z$  è una radice  $N^{\text{sima}}$  di 1 tale che le potenze  $\{(z)^k\}_{k=0,\dots,N-1}$  danno tutte le radici  $N^{\text{sime}}$  di 1  $\zeta$ :

$$\begin{aligned}\zeta &= \sqrt[N]{1} = \sqrt[N]{[\rho = 1, \theta = 0]} = \\ &= \left[1, \frac{2\pi}{N} k\right]_{k=0,1,\dots,N-1} = \left\{e^{ik\frac{2\pi}{N}}\right\}_{k=0,1,\dots,N-1}\end{aligned}$$



→ dal prodotto matrice-vettore

$$F_k = \sum_{j=0}^{N-1} f_j e^{-\frac{2\pi i}{N} kj} = \sum_{j=0}^{N-1} f_j \omega_N^{kj}, \quad k=0,1,\dots,N-1$$

forma scalare DFT

**Esempio**

$$\underline{F} = \text{DFT}(\underline{f}) = \Omega_N \underline{f}$$

$$\Omega_N = [(\omega_N)^{kj}]_{k,j=0,1,\dots,N-1} \quad \text{dove} \quad \omega_N = e^{-i\frac{2\pi}{N}}$$

N=4

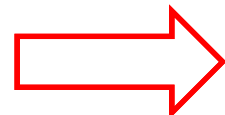
$$\omega_4 = e^{-i\frac{\pi}{2}} = -i$$

$$i^0 = 1$$

$$i^1 = i$$

$$i^2 = -1$$

$$i^3 = -i$$

per la periodicità di  $i^p$ 

$$\Omega_4 = (-i^{hk})_{h,k=0,1,2,3} = \begin{pmatrix} 1 & 1 & 1 & 1 \\ 1 & -i & (-i)^2 & (-i)^3 \\ 1 & (-i)^2 & (-i)^4 & (-i)^6 \\ 1 & (-i)^3 & (-i)^6 & (-i)^9 \end{pmatrix} = \begin{pmatrix} 1 & 1 & 1 & 1 \\ 1 & -i & -1 & i \\ 1 & -1 & 1 & -1 \\ 1 & i & -1 & -i \end{pmatrix}$$

gli elementi di  $\Omega_N$  sono le  $N$  radici  $N^{\text{esime}}$  dell'unità

N=4; w=exp(sym(-2\*pi\*i/N))

```
w =
-i
k=0:N-1; w=w.^^(k'*k)
```

```
w =
[[ -1, 1, 1, 1]
 [ 1, -i, -1, i]
 [ 1, -1, -1, -1]
 [ 1, i, -1, -i]]
```

prodotto esterno

 $\omega_N$  è una radice 4<sup>a</sup> primitiva $\Omega_N$  è simmetrica

# Principale proprietà di $\Omega_N$ : il calcolo della matrice inversa è immediato!

... e quindi non va calcolata

```
N=...; w=exp(sym(-2*pi*i/N)); k=0:N-1;
W=w.^^(k'*k);
WW=simplify(W*W), D=simplify(W'*W)
```

$N=2$

```
WW =
[ 2, 0]
[ 0, 2]
D =
[ 2, 0]
[ 0, 2]
```

$N=3$

```
WW =
[ 3, 0, 0]
[ 0, 3, 0]
[ 0, 0, 3]
D =
[ 3, 0, 0]
[ 0, 3, 0]
[ 0, 0, 3]
```

$N=4$

```
WW =
[ 4, 0, 0, 0]
[ 0, 4, 0, 0]
[ 0, 0, 4, 0]
[ 0, 0, 0, 4]
D =
[ 4, 0, 0, 0]
[ 0, 4, 0, 0]
[ 0, 0, 4, 0]
[ 0, 0, 0, 4]
```

$N=5$

```
WW =
[ 5, 0, 0, 0, 0]
[ 0, 5, 0, 0, 0]
[ 0, 0, 5, 0, 0]
[ 0, 0, 0, 5, 0]
[ 0, 0, 0, 0, 5]
D =
[ 5, 0, 0, 0, 0]
[ 0, 5, 0, 0, 0]
[ 0, 0, 5, 0, 0]
[ 0, 0, 0, 5, 0]
[ 0, 0, 0, 0, 5]
```

$$\Omega_N^{-1} = \frac{1}{N} (\Omega_N)^H = \frac{1}{N} \bar{\Omega}_N = \frac{1}{N} \left( \omega_N^{-kj} \right)_{k,j=0,1,\dots,N-1}$$

H sta per matrice trasposta e complessa coniugata

poiché la matrice è simmetrica,  $\Omega_N^H$  si riduce alla sola complessa coniugata

# Inverse Discrete Fourier Transform (IDFT)

**DEFINIZIONE:**  $\underline{f}$  è la IDFT di  $\underline{F}$        $\underline{F} = \text{IDFT}(\underline{f})$

Input:  $\underline{F} = (F_0, F_1, F_2, \dots, F_{N-1})^T$  vettore reale o complesso ( $\underline{F} \in \mathbb{C}^N$ )

Output:  $\underline{f} = (f_0, f_1, f_2, \dots, f_{N-1})^T$  ( $\underline{f} \in \mathbb{C}^N$ )

$$\underline{f} = \text{IDFT}(\underline{F}) = \underline{\Omega}_N^{-1} \underline{F}$$

forma matriciale  
IDFT

dove  $\underline{\Omega}_N^{-1}$  è l'inversa della matrice  $\underline{\Omega}_N$  ed è data da:

$$\underline{\Omega}_N^{-1} = \frac{1}{N} (\underline{\Omega}_N)^H = \frac{1}{N} \bar{\underline{\Omega}}_N = \frac{1}{N} (\omega_N^{-kj})_{k,j=0,1,\dots,N-1}$$

matrice complessa coniugata  
(poiché  $\underline{\Omega}_N$  è simmetrica)

$$\omega_N = e^{-i\frac{2\pi}{N}}$$

$$\bar{\omega}_N = e^{+i\frac{2\pi}{N}}$$

(molto facile da calcolare)

dal prodotto matrice-vettore:

$$f_j = \frac{1}{N} \sum_{k=0}^{N-1} F_k e^{+\frac{2\pi i}{N} kj}, \quad j=0,1,\dots,N-1$$

forma scalare  
IDFT

**Esempio**

$$\underline{\mathbf{f}} = \text{IDFT}(\underline{\mathbf{F}}) = \underline{\Omega}_N^{-1} \underline{\mathbf{F}}$$

$$\underline{\Omega}_N = [(\omega_N)^{kj}]_{k,j=0,1,\dots,N-1} \quad \text{dove} \quad \omega_N = e^{-i\frac{2\pi}{N}}$$

N=4

$$\omega_4 = e^{-i\frac{\pi}{2}} = -i$$

$$\underline{\Omega}_4 = (-i^{hk})_{h,k=0,1,2,3} = \begin{pmatrix} 1 & 1 & 1 & 1 \\ 1 & -i & -1 & i \\ 1 & -1 & 1 & -1 \\ 1 & i & -1 & -i \end{pmatrix} \xrightarrow{\text{red arrow}} \underline{\Omega}_4^{-1} = \frac{1}{4} [(-i)^{hk}]_{h,k=0,1,2,3} = \frac{1}{4} \begin{pmatrix} 1 & 1 & 1 & 1 \\ 1 & i & -1 & -i \\ 1 & -1 & 1 & -1 \\ 1 & -i & -1 & i \end{pmatrix}$$

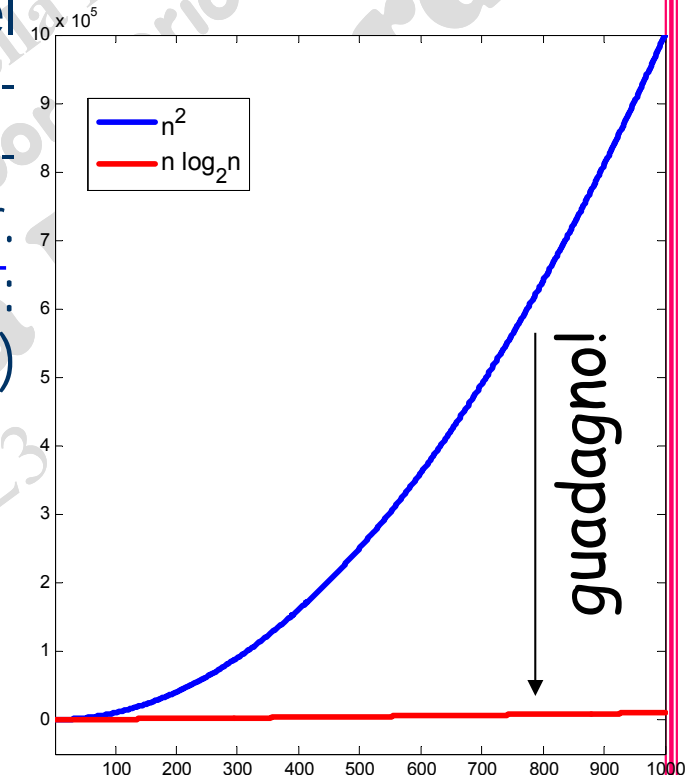
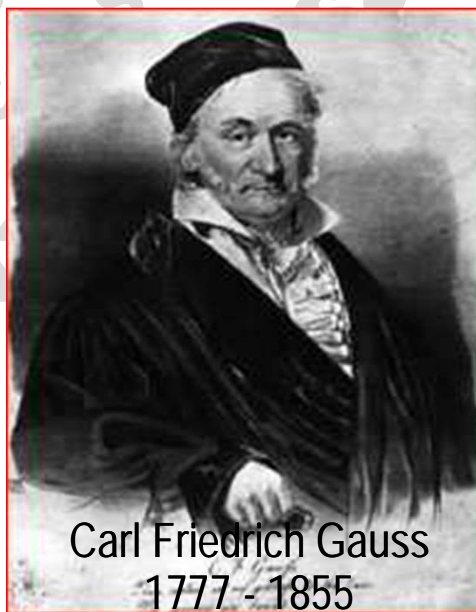
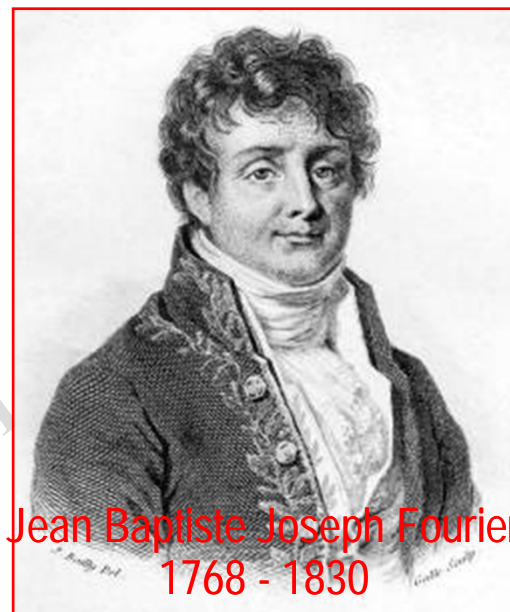
```

syms f0 f1 f2 f3; f=[f0;f1;f2;f3];
N=4; w=exp(sym(-2*pi*i/N));
k=0:N-1; W=w.^((k'*k)) prodotto esterno
disp([W inv(W)])
[ 1, 1, 1, 1, 1/4, 1/4, 1/4, 1/4 ]
[ 1, -i, -1, i, 1/4, i/4, -1/4, -i/4 ]
[ 1, -1, 1, -1, 1/4, -1/4, 1/4, -1/4 ]
[ 1, i, -1, -i, 1/4, -i/4, -1/4, i/4 ]
F=W*f; disp((1/4*conj(W)*F-f).')
[ 0, 0, 0, 0]

```

# Algoritmo FFT (Cooley-Tuckey, 1965) Fast Fourier Transform

Ha ridotto la complessità computazionale del calcolo di una **DFT** da  $n^2$  a  $n \cdot \log_2 n$ , consentendo, in ambiente numerico, un'ampia utilizzazione dei metodi matematici basati su Fourier. Attualmente esiste una famiglia di algoritmi FFT: ciascuno applicabile a dati (ed architetture) particolari.



in MATLAB:  
`fft(...)` e `ifft(...)`

Questo algoritmo era già noto a **Gauss** all'incirca nel 1805.

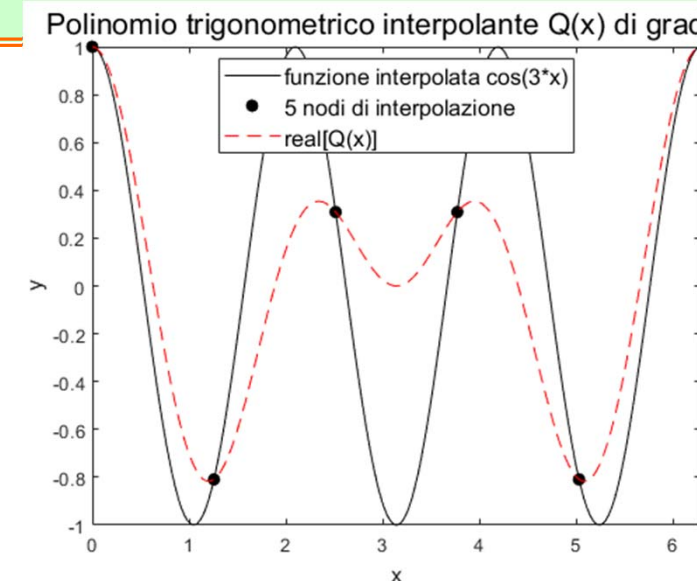
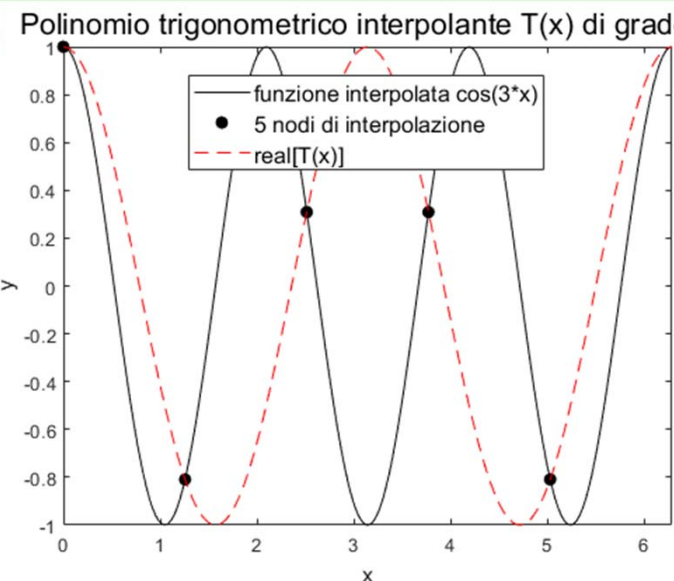
### 3° ALGORITMO: esempio

Per il polinomio  $Q(x)$  la soluzione del sistema  $A \cdot c = y$  è data direttamente da

$$c = \frac{1}{M} \Omega_M \cdot y = \frac{1}{M} \text{DFT}_M(y)$$

```
myfun=@(x) cos(3*x); x=linspace(0,2*pi,199); y=feval(myfun,x);
M=5; N=M-1; % M num. nodi, N grado polinomio
xk=linspace(0,2*pi,M+1)'; xk(end)=[]; yk=feval(myfun,xk);
c=fft(yk)/M; % mediante DFT
Q=polyval(flipud(c),exp(i*x)); plot(x,y,'k',xk,yk,'ok',x,real(Q),'r--')
axis tight
```

Laurea Magistrale  
Applicata  
presso  
Università degli Studi di Genova



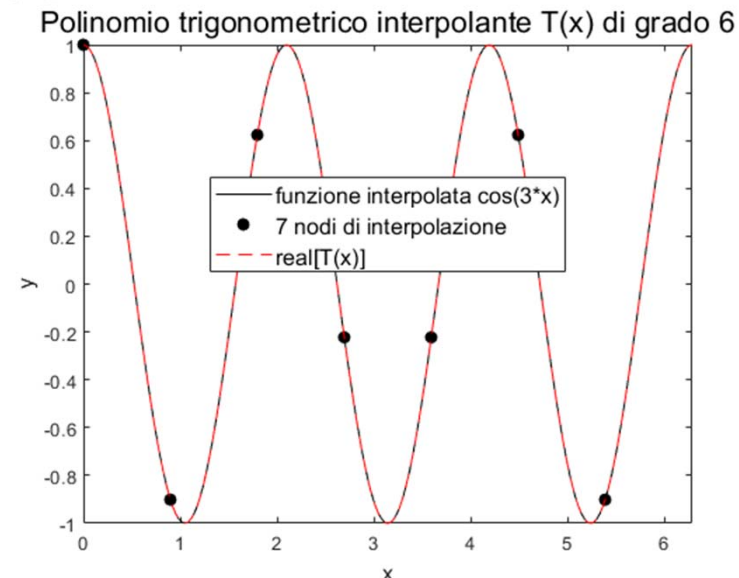
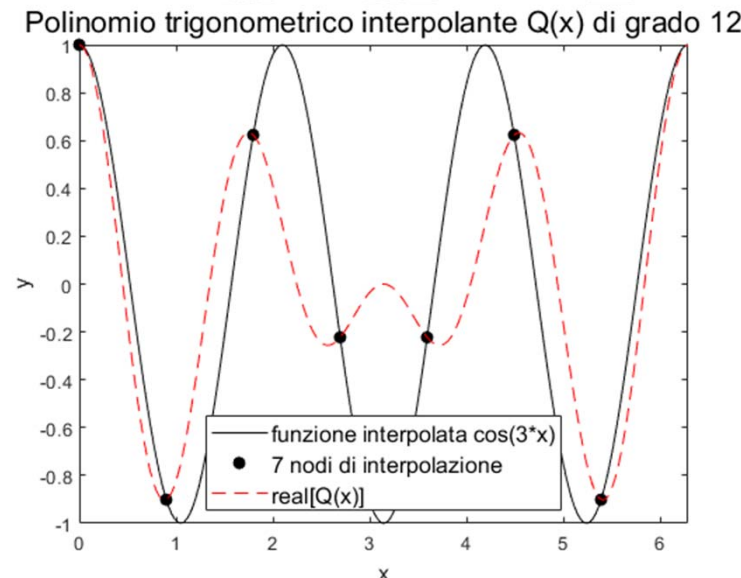
### 3° ALGORITMO

Per il polinomio  $Q(x)$  la soluzione del sistema  $A \cdot c = y$  è data direttamente da

$$c = \frac{1}{M} \Omega_M \cdot y = \frac{1}{M} \text{DFT}_M(y)$$

con soli 2 nodi in più

```
myfun=@(x) cos(3*x); x=linspace(0,2*pi,199); y=feval(myfun,x);
M=7; N=M-1; % M num. nodi, N grado polinomio
xk=linspace(0,2*pi,M+1)'; xk(end)=[]; yk=feval(myfun,xk);
c=fft(yk)/M; % mediante DFT
Q=polyval(flipud(c),exp(i*x)); plot(x,y,'k',xk,yk,'ok',x,real(Q),'r--')
axis tight
```



I coefficienti del polinomio trigonometrico interpolante  $Q(x)$  sugli  $M=N+1$  punti  $(x_k, y_k)$ , con i nodi  $x_k$  equispaziati, sono dati da (analogamente per il polinomio  $T(x)$ ):

❖ Algoritmo 1 (metodo di Gauss): sistema  $A \cdot c = y$

con complessità  $O(M^3/3)$

❖ Algoritmo 2 (prodotto mat-vet):  $c = A^{-1} \cdot y = \frac{1}{M} \bar{A} \cdot y$

con complessità  $O(M^2)$

❖ Algoritmo 3 (DFT):

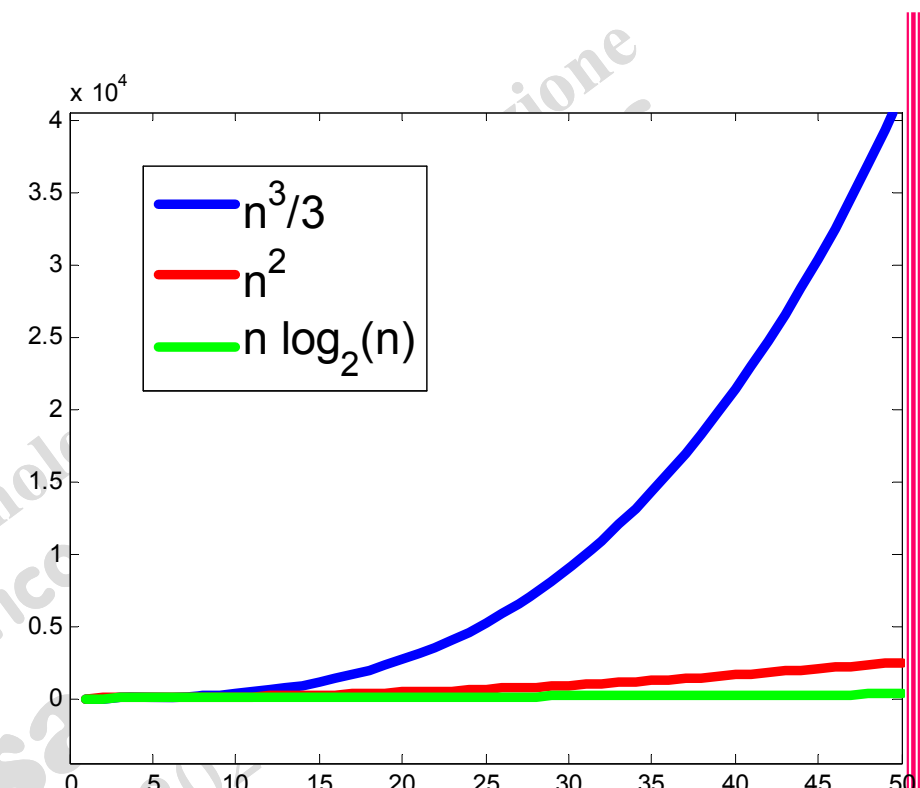
$$c = \frac{1}{M} \text{DFT}_M(y)$$

con complessità  $O(M \log_2 M)$

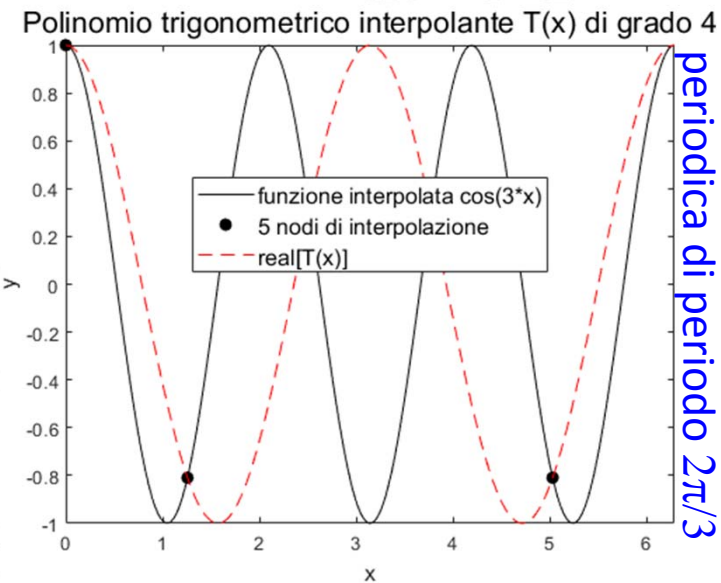
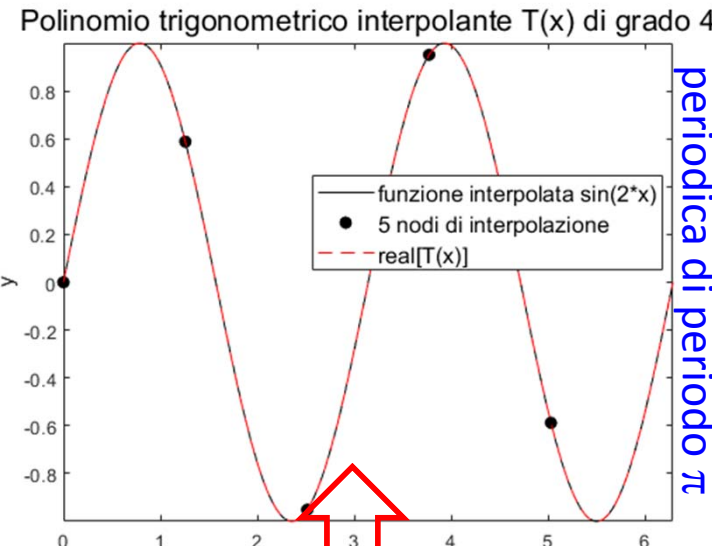
il più efficiente

### 3 algoritmi per determinare i coefficienti del polinomio trigonometrico interpolante su $n$ nodi:

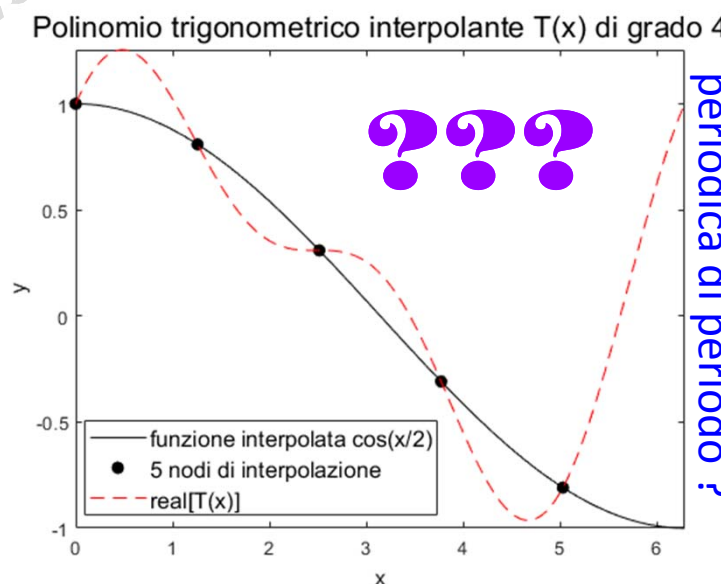
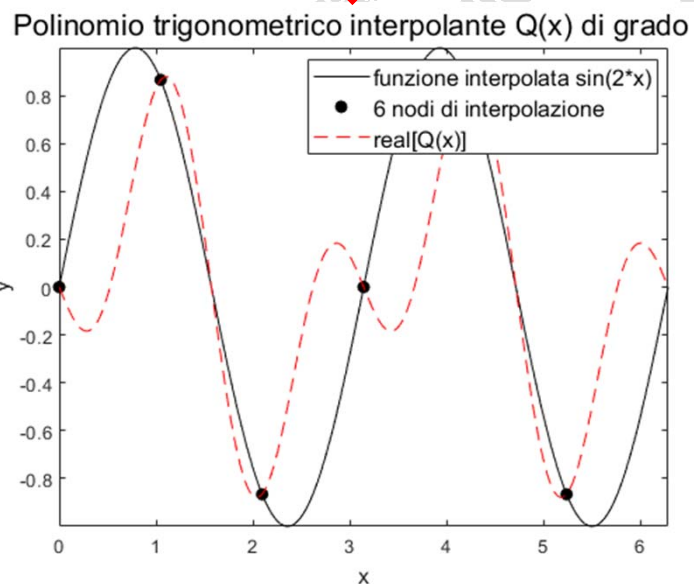
1. [per  $n$  nodi qualsiasi] Si risolve il **sistema lineare** con l'algoritmo di Gauss: allora la **complessità computazionale** è  $O(n^3/3)$ ;
2. [per  $n$  nodi equispaziati] Conoscendo l'inversa della matrice del sistema, si esegue il **prodotto matricexvettore**: la **complessità computazionale** è  $O(n^2)$ ;
3. [per  $n$  nodi equispaziati] La **complessità computazionale** si riduce a  $O(n \cdot \log_2 n)$  ricorrendo all'**algoritmo FFT** per il calcolo di una DFT.



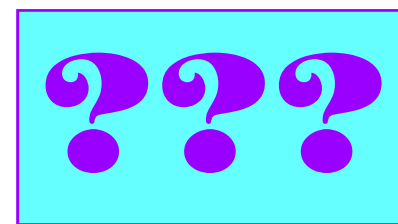
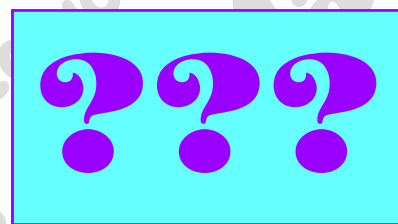
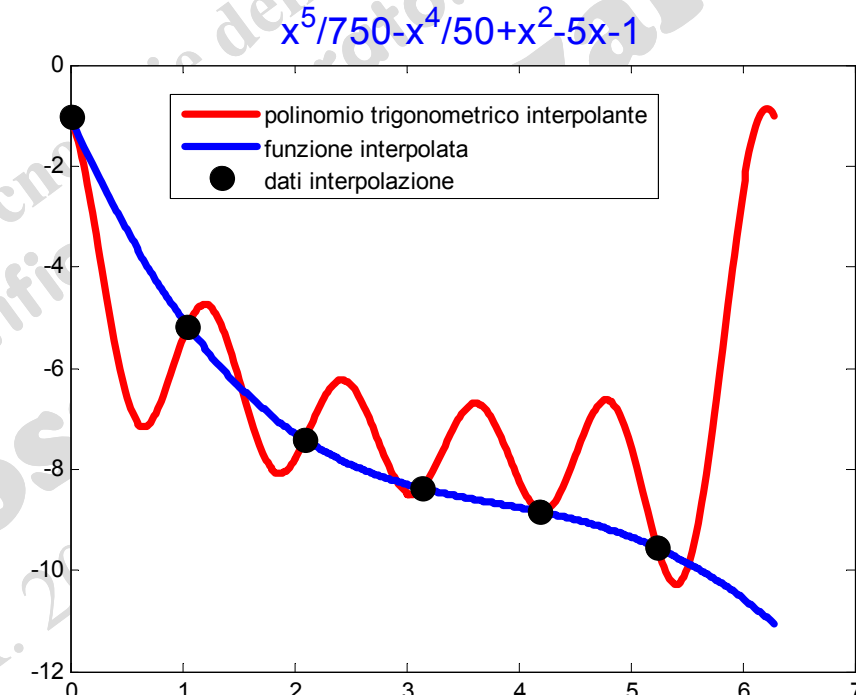
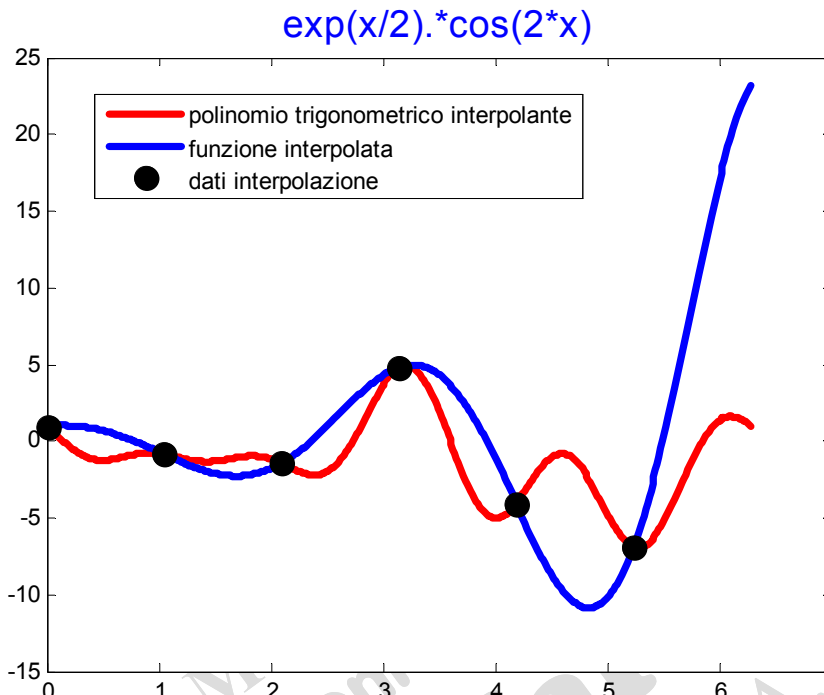
# Algoritmi 1,2,3 su nodi equispaziati in $[0,2\pi[$



I risultati sono gli stessi per i 3 algoritmi;  
l'unica cosa che cambia è il tempo



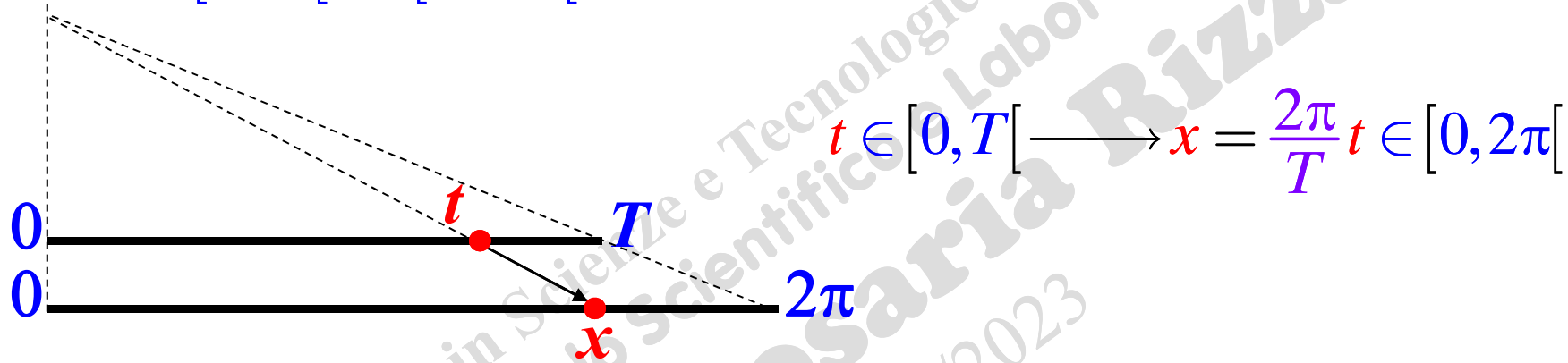
... e se i dati di interpolazione provengono da una funzione non periodica ...



Non bisogna usare l'interpolazione trigonometrica!!!

# Interpolazione Trigonometrica di periodo $T=b-a$

L'intervallo  $[0, 2\pi[$  **non** è una limitazione: se si interpolano dati periodici nell'intervallo  $[0, T[$  è sufficiente "proiettare"  $[0, T[$  in  $[0, 2\pi[$ :



Se più in generale si interpolano dati periodici in un qualsiasi intervallo  $[a, b[$ : prima si trasla l'origine in  $a$  e poi si proietta  $[0, b-a[$  in  $[0, 2\pi[$

$$t \in [a, b[ \longrightarrow x = \frac{2\pi}{b-a}(t-a) \in [0, 2\pi[$$

↑ ... è una affinità

# Problema di Interpolazione Trigonometrica

(intervallo  $[a, b]$ , periodo  $T = b - a$ )

Assegnati  $M$  nodi distinti  $t_k$  equispaziati in  $[a, b]$  ed  $M$  valori  $y_k$ , il polinomio trigonometrico interpolante, di grado  $N=M-1$ , del tipo:

$$Q(x) = c_0 + c_1 e^{ix} + c_2 e^{i2x} + c_3 e^{i3x} + \cdots + c_N e^{iNx} \quad (N \text{ qualsiasi})$$

$$T_N(x) = \gamma_{-\frac{N}{2}} e^{-i\frac{N}{2}x} + \cdots + \gamma_{-1} e^{-ix} + \gamma_0 + \gamma_{+1} e^{ix} + \cdots + \gamma_{+\frac{N}{2}} e^{i\frac{N}{2}x} \quad (N \text{ pari})$$

si ottiene con la sostituzione:  $x = \frac{2\pi}{b-a}(t-a)$

$$Q(t) = c_0 + c_1 e^{i\frac{2\pi}{b-a}(t-a)} + c_2 e^{2i\frac{2\pi}{b-a}(t-a)} + c_3 e^{3i\frac{2\pi}{b-a}(t-a)} + \cdots + c_N e^{iN\frac{2\pi}{b-a}(t-a)}$$

$$T_N(t) = \gamma_{-\frac{N}{2}} e^{-i\frac{N}{2}\frac{2\pi}{b-a}(t-a)} + \cdots + \gamma_{-1} e^{-i\frac{2\pi}{b-a}(t-a)} + \gamma_0 + \gamma_{+1} e^{i\frac{2\pi}{b-a}(t-a)} + \cdots + \gamma_{+\frac{N}{2}} e^{i\frac{N}{2}\frac{2\pi}{b-a}(t-a)}$$

# Interpolazione Trigonometrica in $[a,b[$ di periodo $T=b-a$

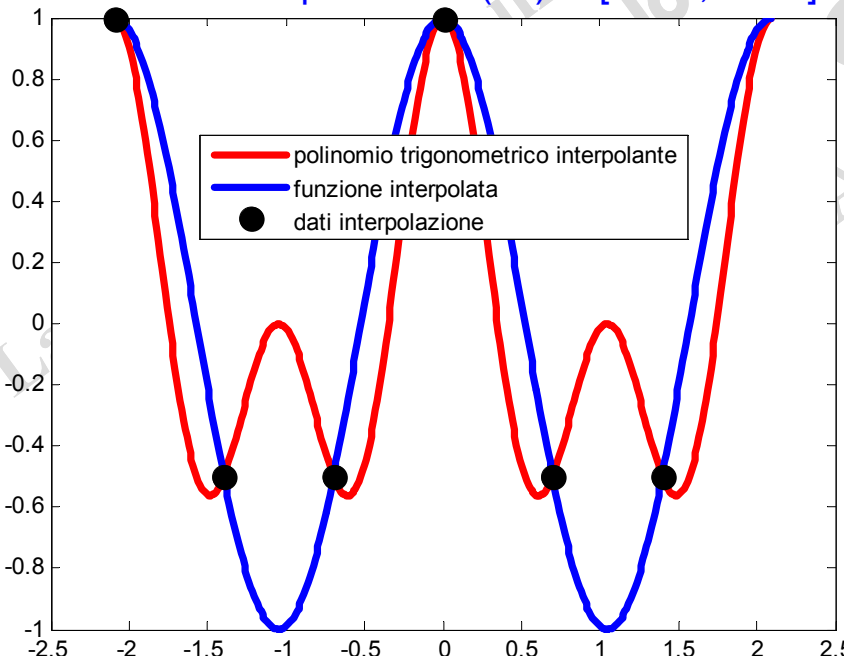
ACS\_04c.40

```
xk=linspace(a,b-(b-a)/M, M)';
```

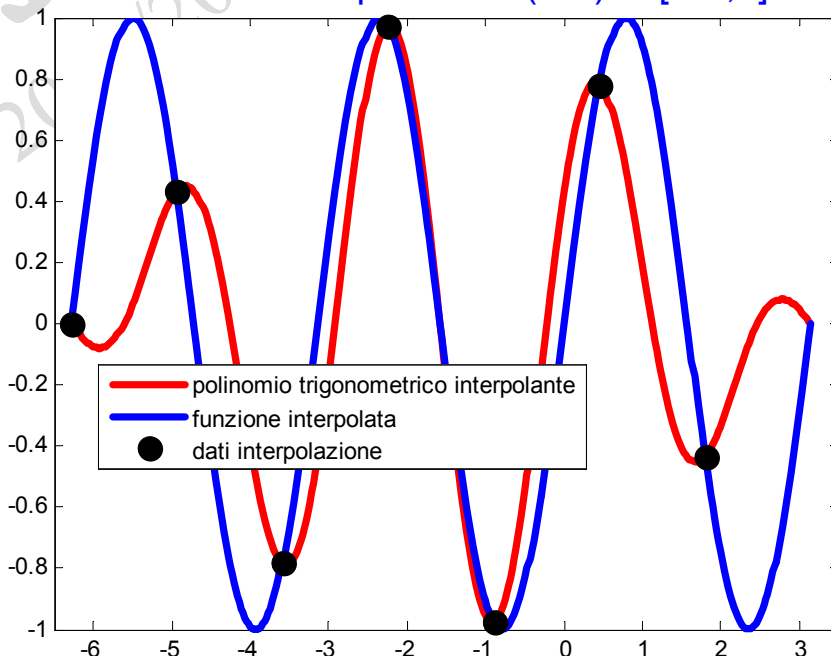
```
fun=str2func(['@(x)' input('stringa funzione: f(x) = ','s')]);  
a=input('a = '); b=input('b = '); x=linspace(a,b,401); y=feval(fun,x);  
M=input('numero nodi '); xk=linspace(a,b,M+1)'; xk(end)=[ ];  
yk=feval(fun,xk);  
c = fft(yk)/M;  
Q = polyval(flipud(c), exp(i*2*pi*(x-a)/(b-a)));  
plot(x,y,'b',xk,yk,'ok',x,real(Q),'r')
```

unica  
modifica

funzione interpolata  $\cos(3x)$  in  $[-2/3\pi, +2/3\pi]$



funzione interpolata  $\sin(2x)$  in  $[-2\pi, \pi]$



# Interpolazione trigonometrica in MATLAB

**y=interpft(fj,N)** interpolazione mediante *Trasformata di Fourier*. Usa la *Trasformata di Fourier* dei valori **fj**, in **n** nodi equispaziati, per produrre **N** valori in punti equispaziati. Se **fj** è una matrice agisce su ogni colonna, altrimenti usare **y=interpft(fj,N,dim)** per scegliere la dimensione su cui agire.

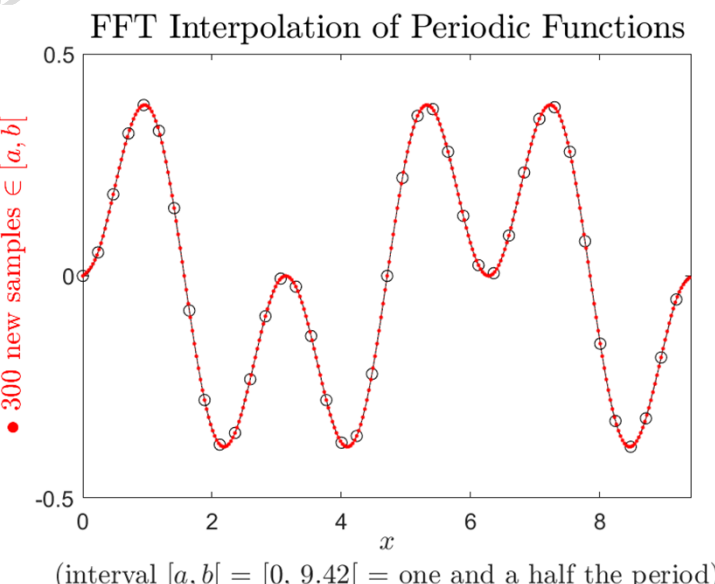
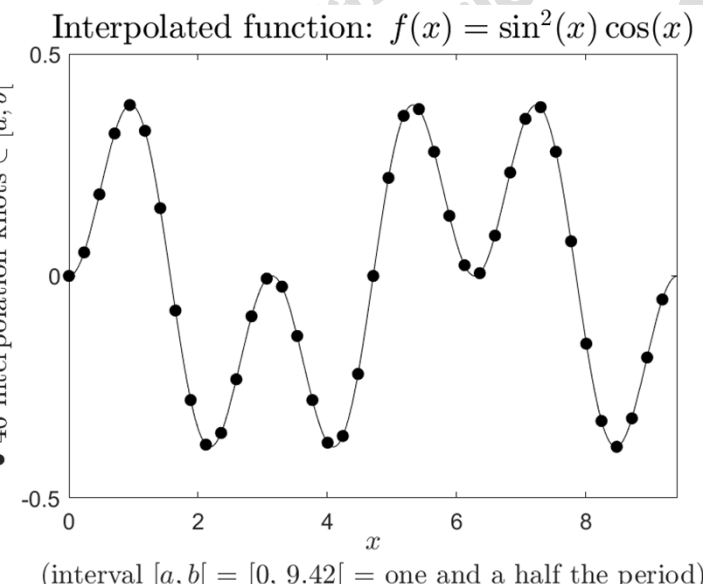
```

pf=@(t) sin(t).^2.*cos(t);      % funzione interpolata
str='$f(x)=\sin^2(x)\cos(x)$'; % formula LaTeX per i titoli
a=0; b=3*pi; L=b-a; n=40; dx=L/n; xj=a+dx*(0:(n-1))'; fj=pf(xj); % nodi di interp.
figure; fplot(pf,[a b],'Color','k'); hold on
plot(xj,fj,'ok','MarkerFaceColor','k'); xlabel(...); ylabel(...); title(...)

N=300; Xj=a+L/N*(0:(N-1))'; Fj=interpft(fj,N);

figure; fplot(pf,[a b],'LineStyle',':','Color','k'); hold on
plot(xj,fj,'ok',Xj,Fj,'.r'); xlabel(...); ylabel(...); title(...)

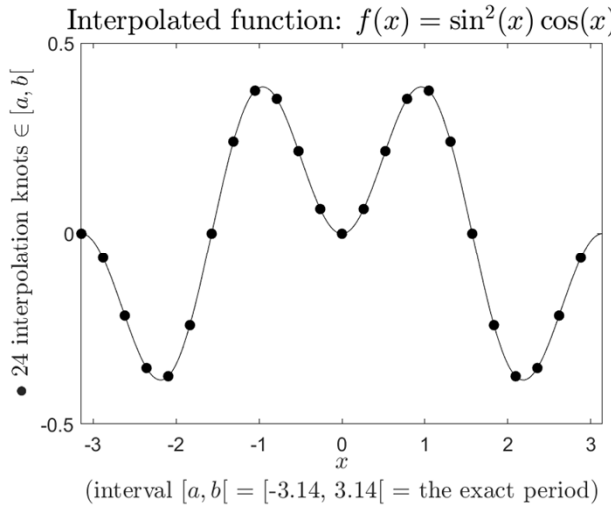
```



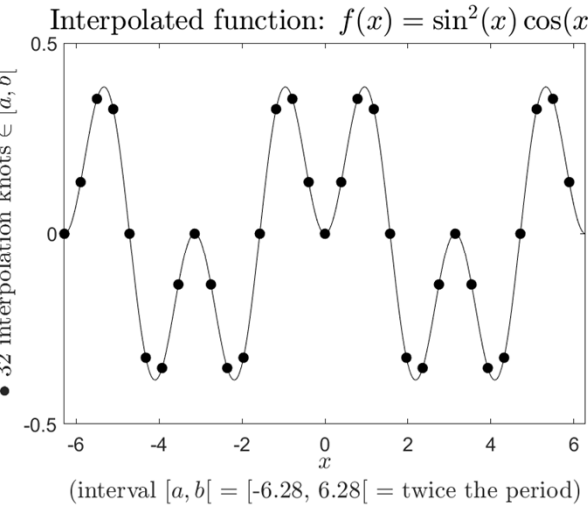
# Interpolazione trigonometrica in MATLAB

in input: **n** nodi di interpolazione equispaziati in  $[a, b]$

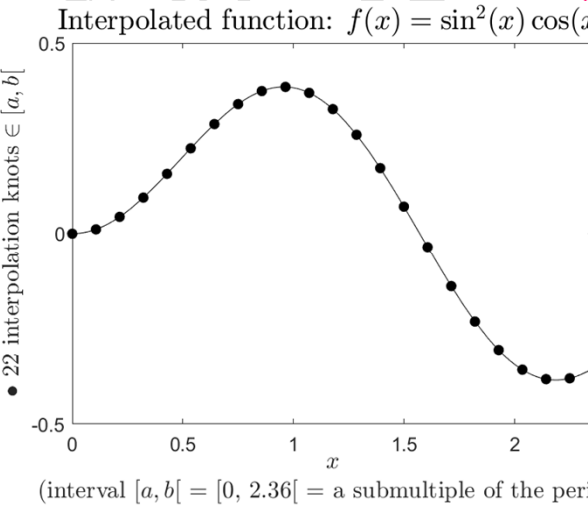
C5 04c 42



```
a=-pi; b=+pi;  
n=24; N=100;
```



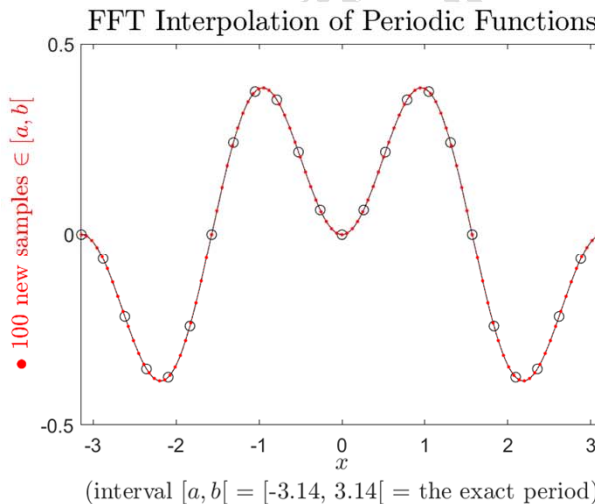
```
a=-2*pi; b=+2*pi;  
n=32; N=200;
```



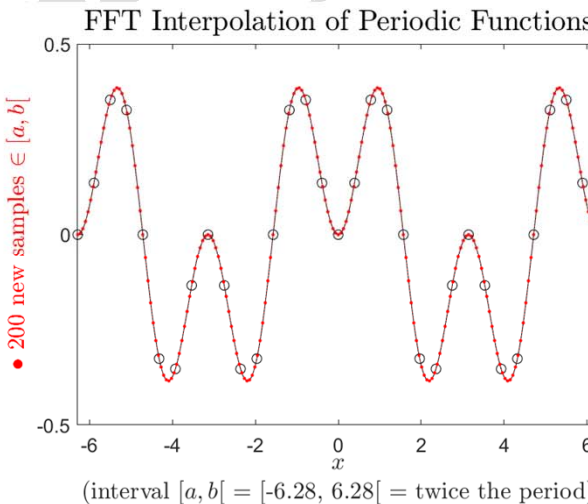
(interval  $[a, b] = [0, 2.36]$  = a submultiple of the period)

```
a=0; b=3/4*pi;  
n=22; N=100;
```

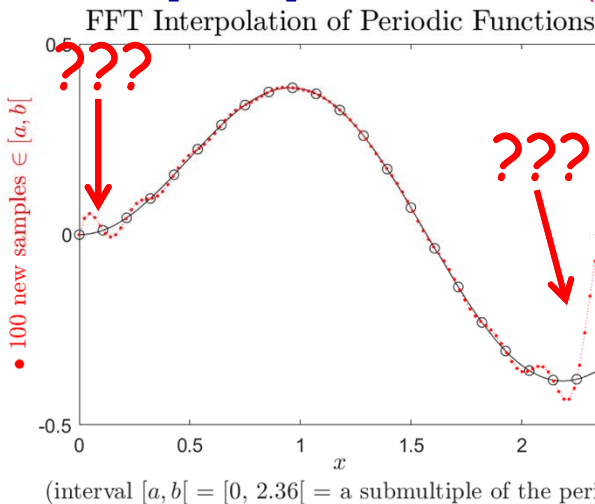
in output: **N** valori in nodi equispaziati in  $[a, b]$



(interval  $[a, b] = [-3.14, 3.14]$  = the exact period)



(interval  $[a, b] = [-6.28, 6.28]$  = twice the period)



(interval  $[a, b[ = [0, 2.36[$  = a submultiple of the period)

## Interpolazione

# Interpolazione trigonometrica in MATLAB

## Idea dell'algoritmo\*

\* l'algoritmo di `interpft` è leggermente diverso; usare `edit interpft` nella Command Window per vederne il codice

`Y=interpft(fj,N)` trasforma, mediante la *Trasformata di Fourier*, il vettore degli **n** campioni **fj** dallo spazio del tempo a quello delle frequenze e, introducendo degli zeri, ne aumenta il numero a **N**, con **N>n**. Poi inverte la nuova *Trasformata di Fourier*.

per semplicità l'esempio suppone **n** e **N** pari

```
a=0; b=3*pi; n=32; xj=linspace(a,b,n)'; fj=pf(xj);
N=300; Y=interpft(fj,N); % per confronto
if rem(n,2) == 1 % n dispari
    fj=[mean(fj([1 end])); fj(2:end-1)];
else % n pari
    fj(1)=mean(fj([1 end])); fj(end)=fj(1);
end
a=fftshift(fft(fj)); a=[a; a(1)];
nyqst=floor(n/2); nu=(-nyqst:nyqst)';
figure; stem(nu,abs(a),'ob'); AX=axis; axis([-nyqst-1 nyqst+1 -0.1 AX(4)]);
hold on; plot([-nyqst nyqst],abs(a([1 end])), 'or')
b=zeros((N-n)/2,1); a; zeros((N-n)/2,1); % allunga il vettore
figure; stem((-N/2:N/2)',abs(b),'.c')
AX=axis; axis([-N/2-1 N/2+1 -0.1 AX(4)])
hold on; stem(nu,abs(a),'ob-','MarkerSize',4)
mid=N/2+1; plot([-nyqst nyqst],abs(b([mid-nyqst mid+nyqst])), '.r')
plot([-nyqst nyqst],abs(a([1 end])), 'or','MarkerSize',4)
b=b(1:N); y=ifft(fftshift(b)); y=y*N/n;
if isreal(fj), y=real(y); end
printf('\nY=interpft(fj,N) e y da Fourier Transform:')
printf('\nmax(abs(Y - y)) = %g\n', max(abs(Y-y)))
Y=interpft(fj,N) e y da Fourier Transform:
max(abs(Y - y)) = 1.11022e-16      Errore assoluto
```

FT

IFT

